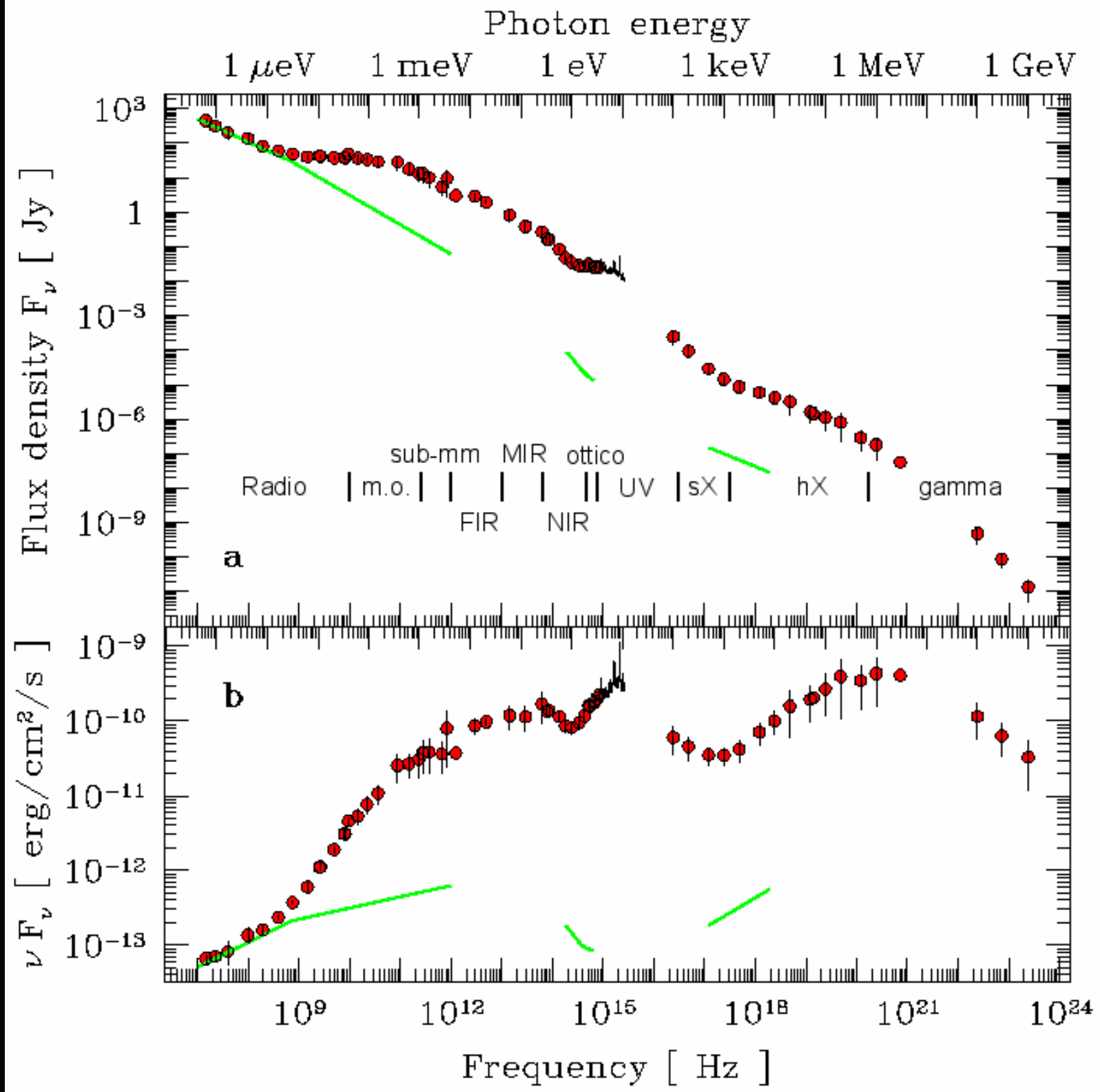


Active Galactic nuclei

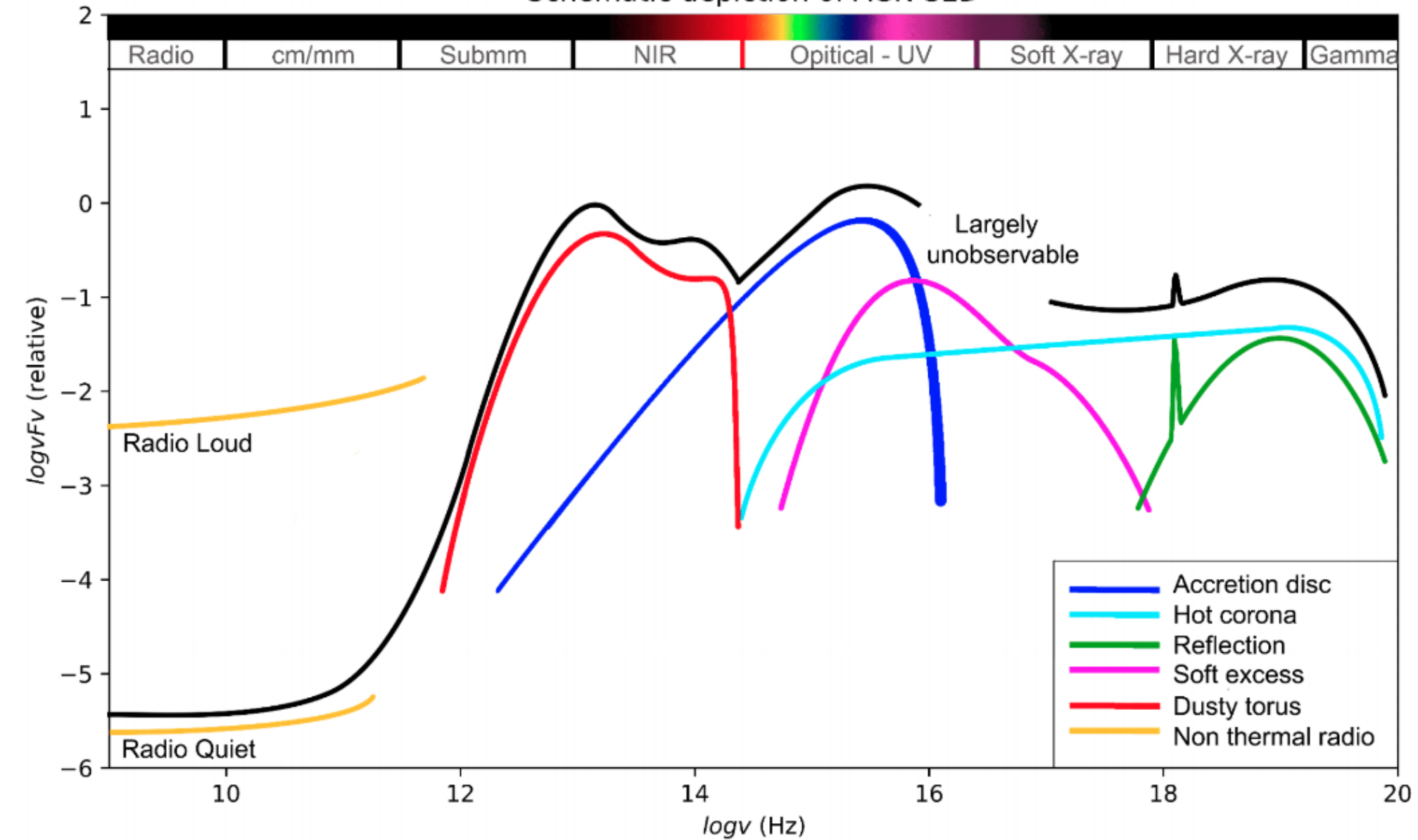
Pierluigi Monaco, Radiative Processes

2018/2019



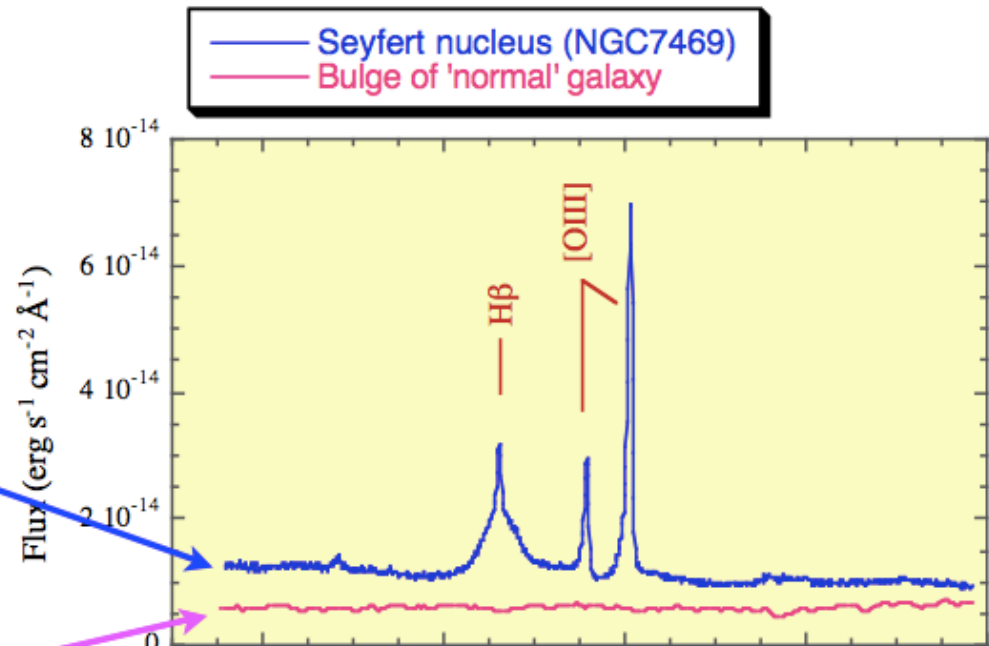
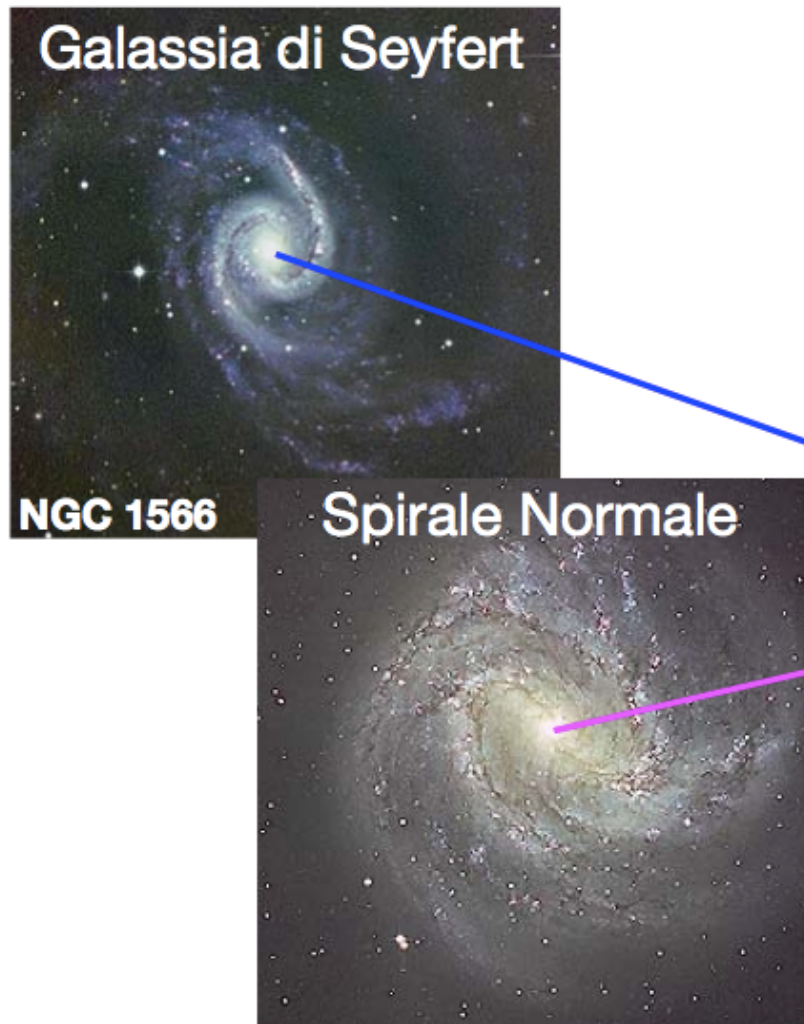


Schematic depiction of AGN SED

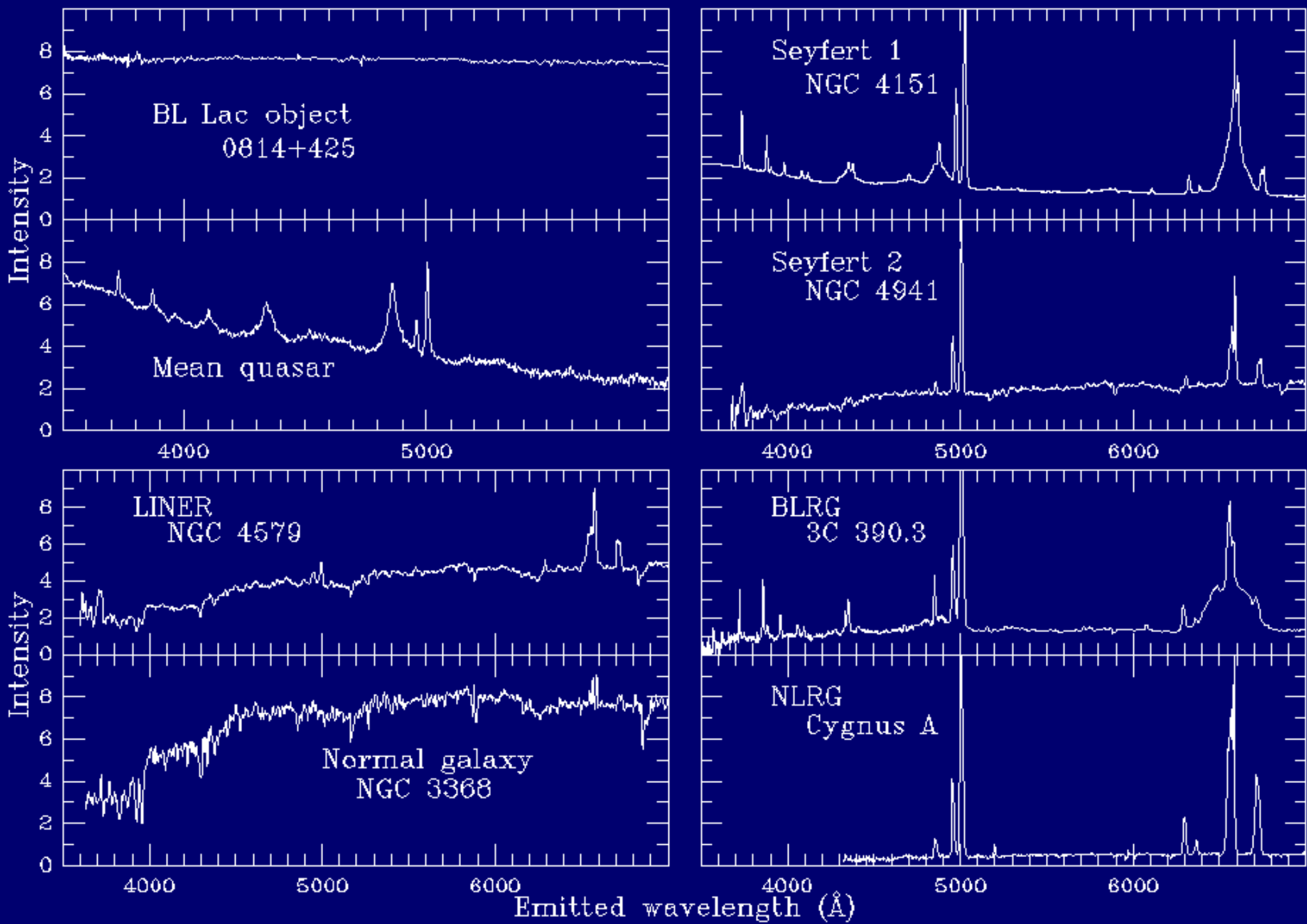


Le Galassie di Seyfert

Scoperte da Karl Seyfert nel 1943 come galassie a spirali peculiari caratterizzate da forti righe di emissione nel nucleo.



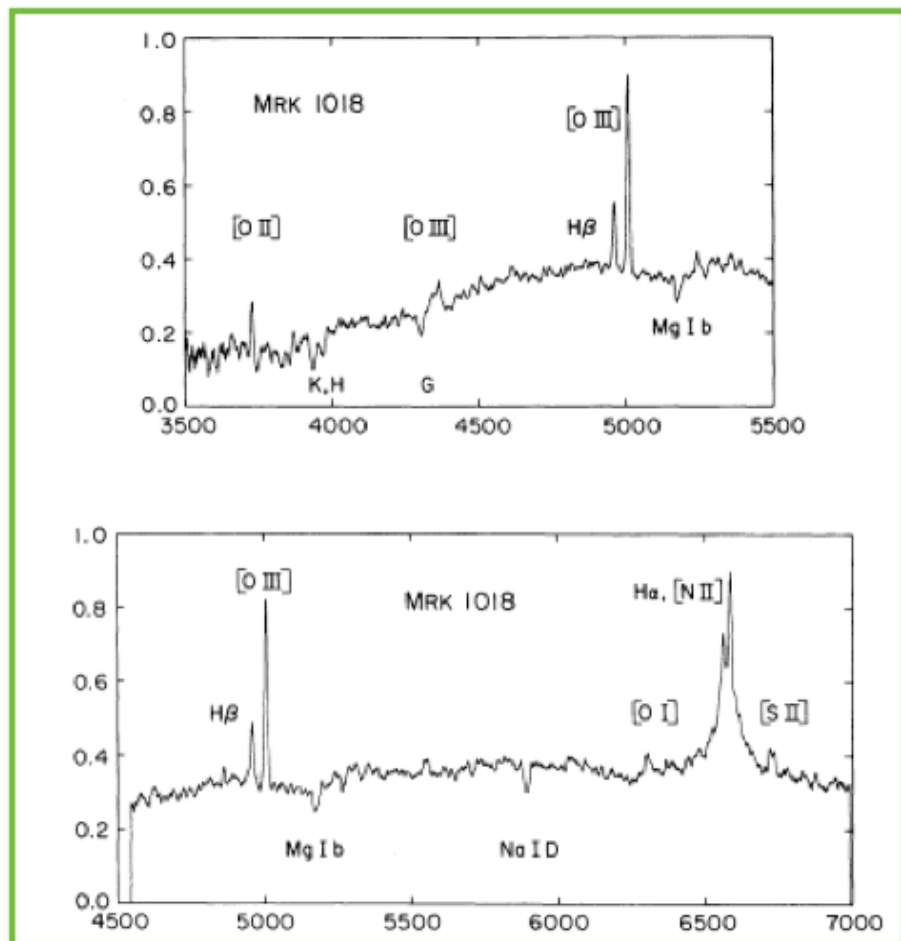
Lo spettro di una galassia di Seyfert ha righe di emissione che indicano un livello di ionizzazione del gas più elevato di quello riscontrato nelle galassie starburst (o nelle regioni HII). In alcuni casi le righe hanno larghezze elevate $\text{FWHM} > 1000$ km/s (galassie normali $\text{FWHM} < 300$ km/s)



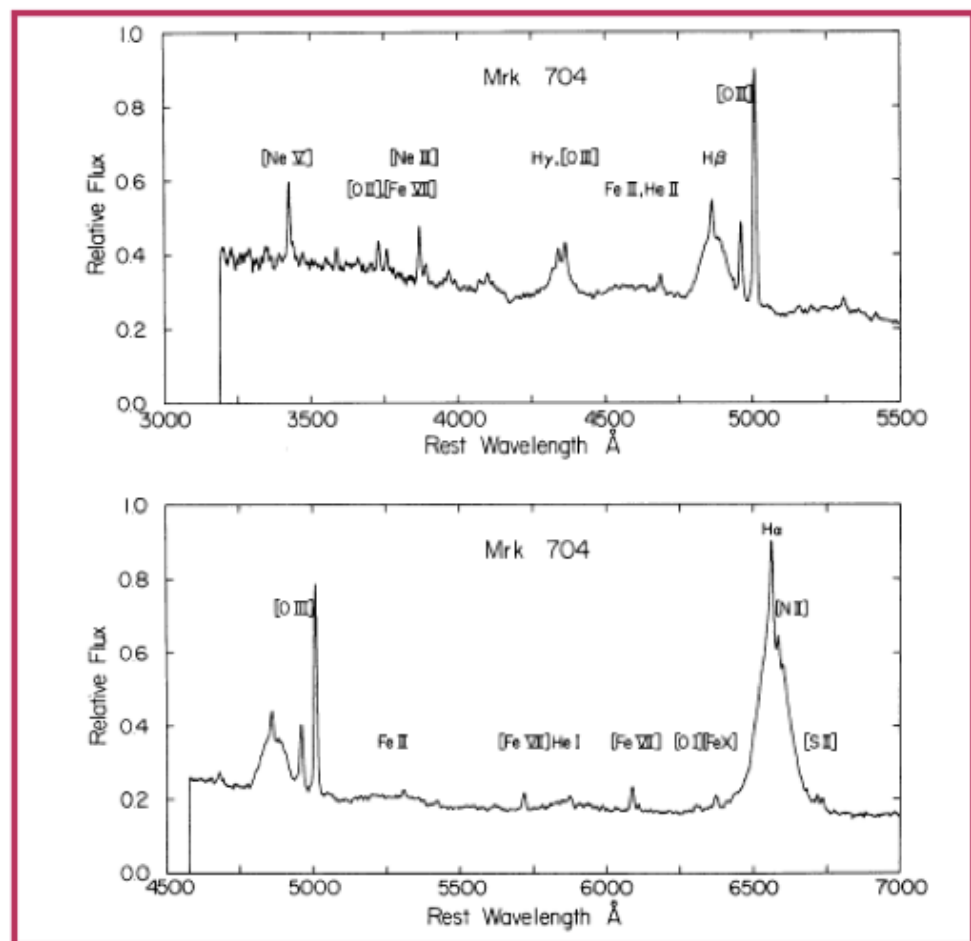
Galassie di Seyfert

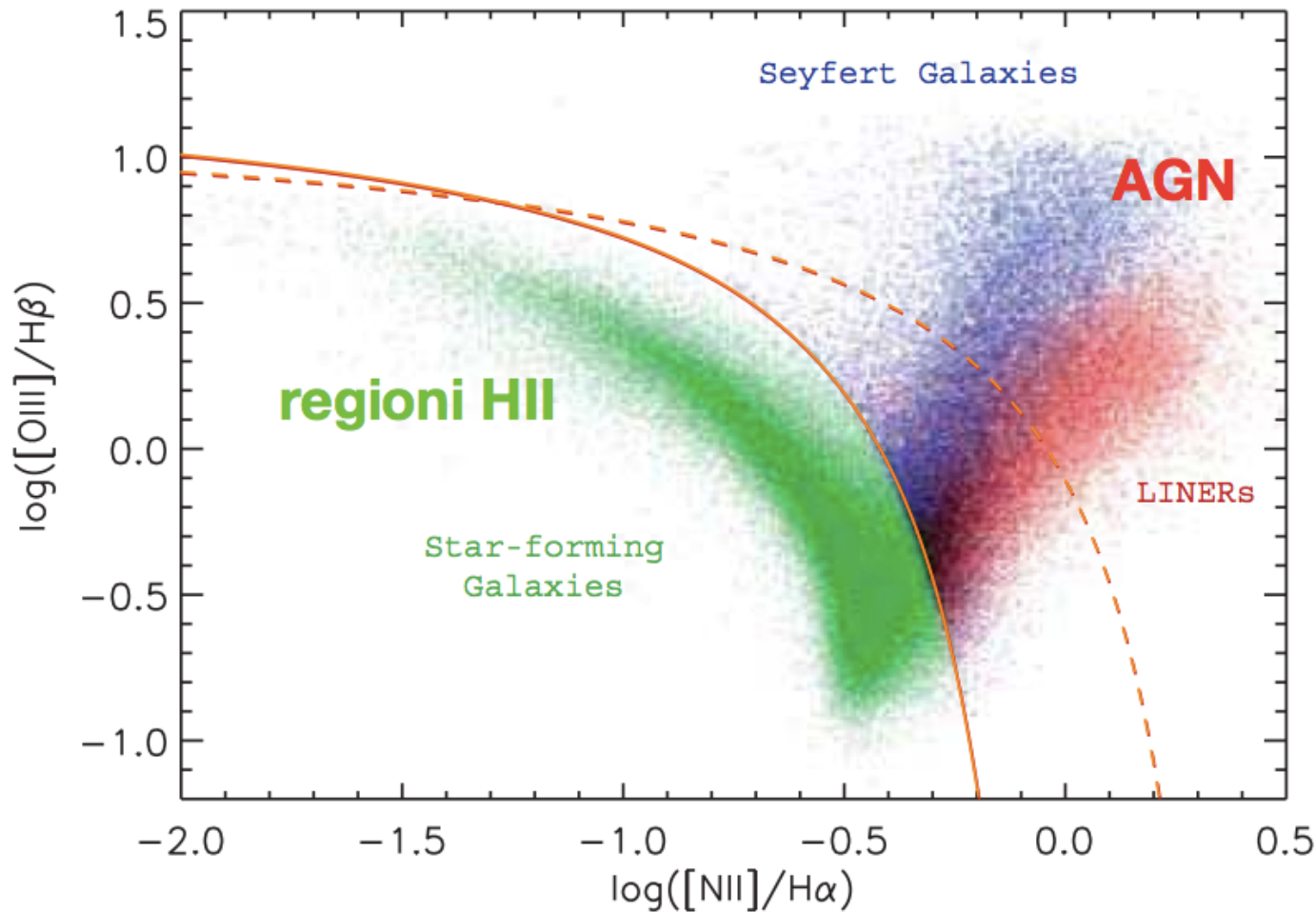
TIPI “INTERMEDI”

Type 1.9



Type 1.5



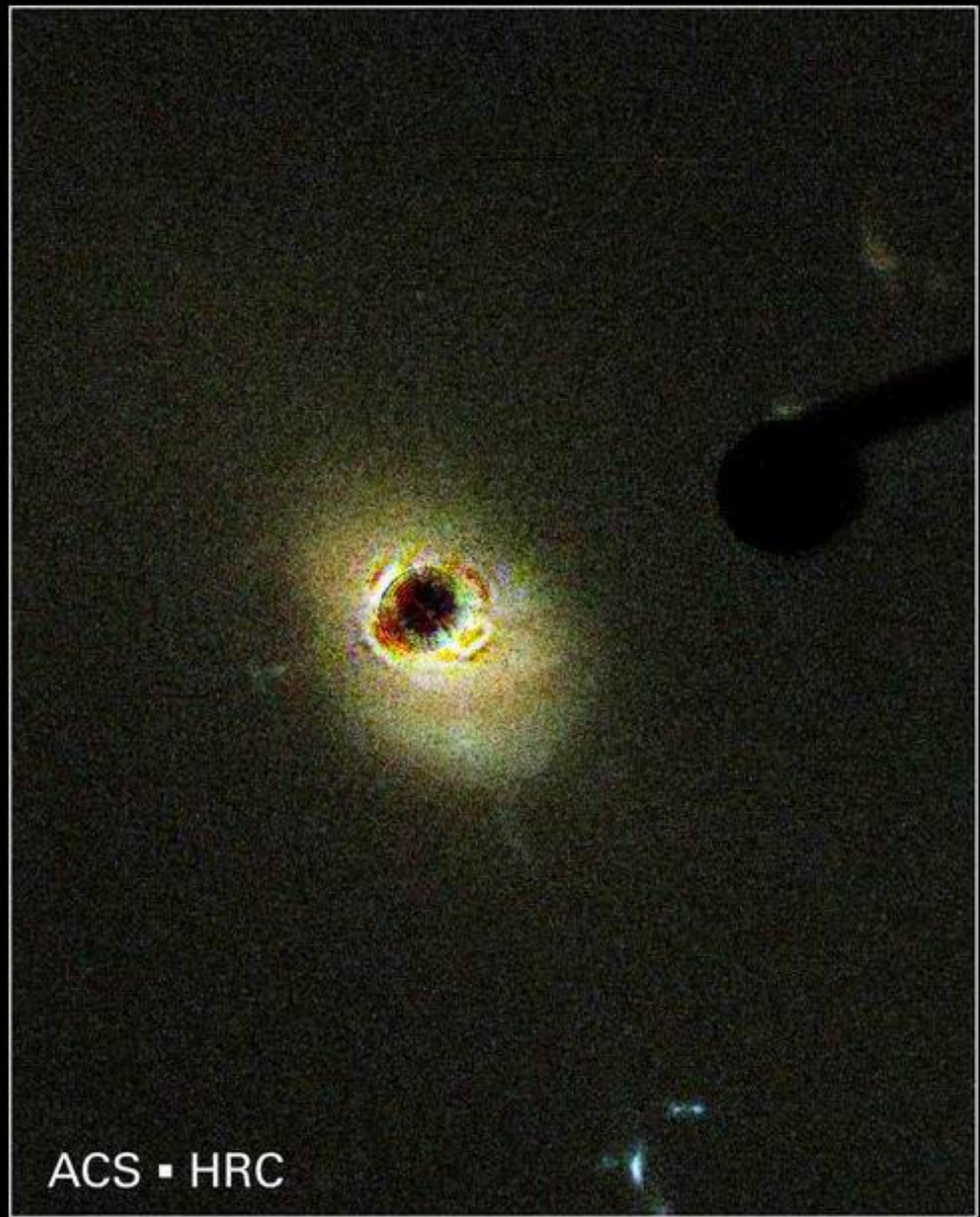


parametro di
ionizzazione **U**

continuo ionizzante
più “hard”

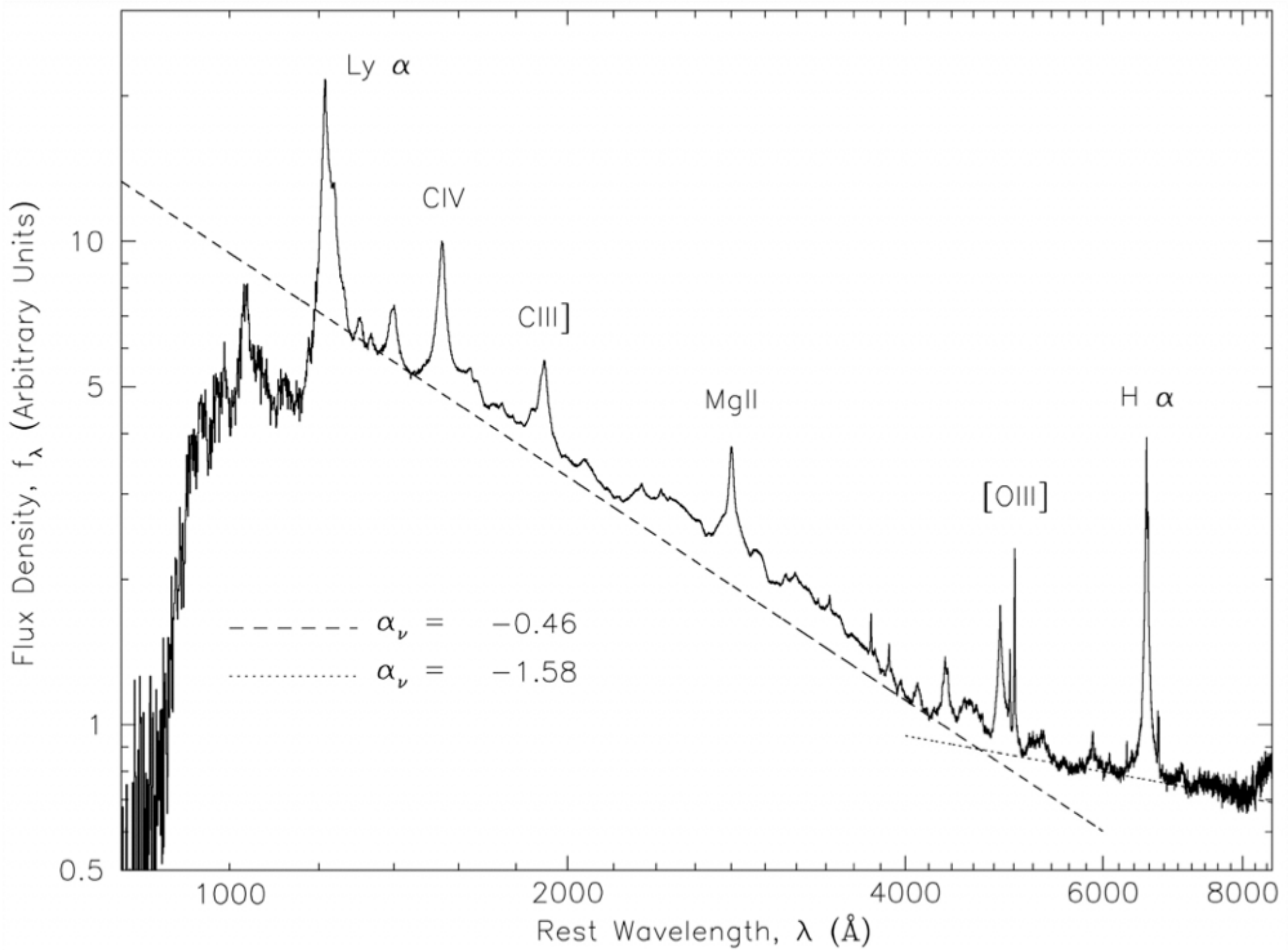


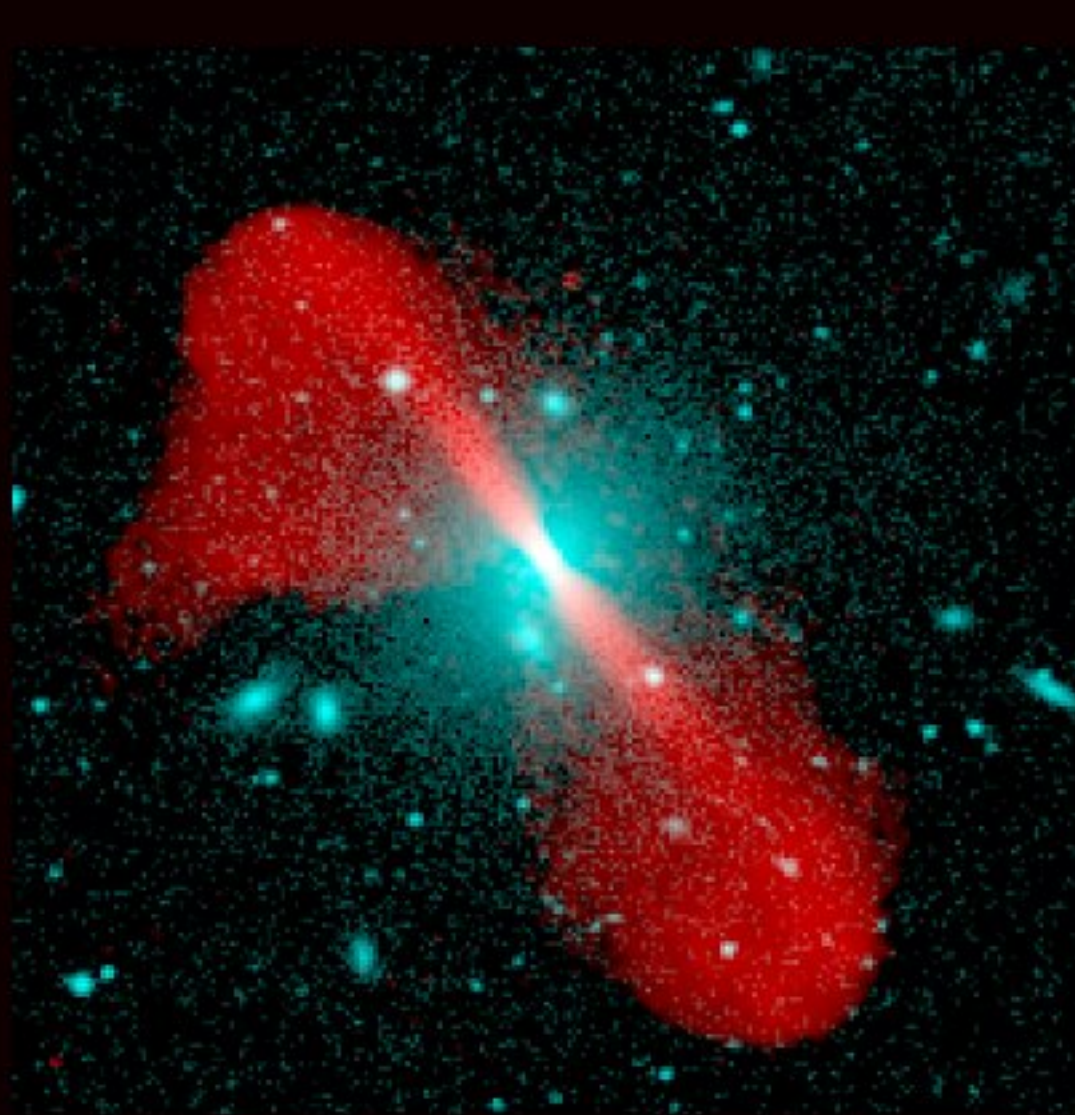
WFPC2



ACS • HRC

Quasar 3C 273
Hubble Space Telescope • ACS HRC Coronagraph





Radio Galaxy 3C296
Radio/optical superposition

Copyright (c) NRAO/AUI 1999

X ray



UV



Optical



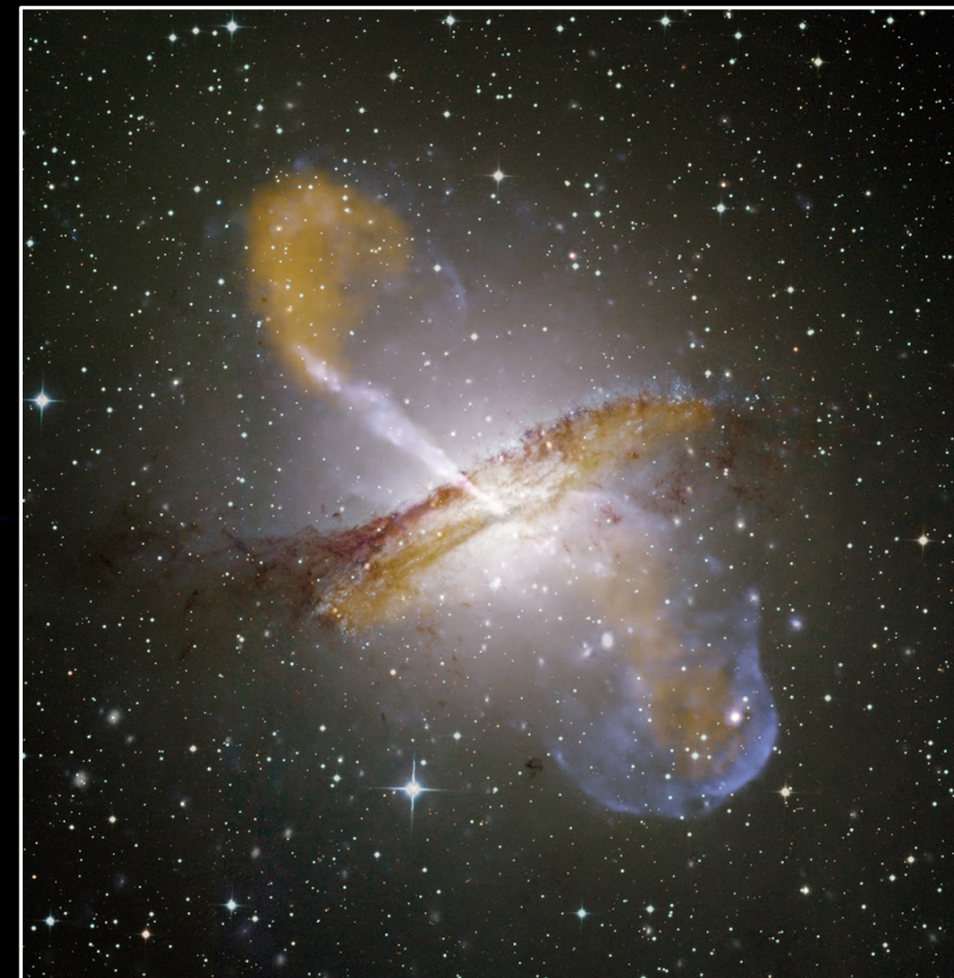
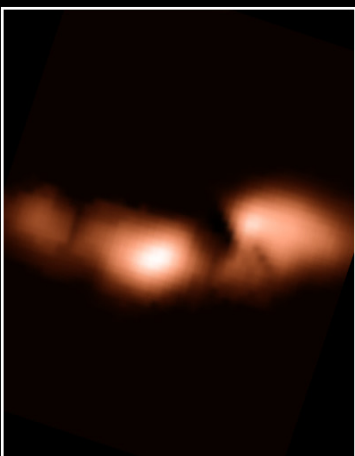
MIR



Radiocontinuum



H I



X ray + Optical + Submillimetre + Radio Composition

Esistono due tipi di sorgenti radio (galassie o quasar) classificate in base alla loro apparenza radio:

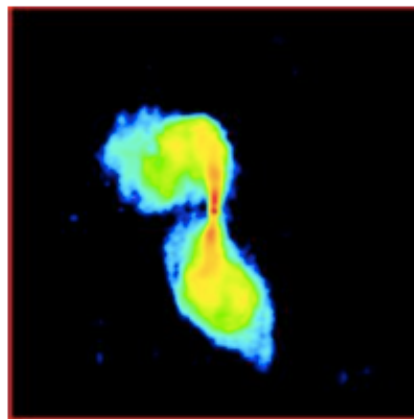
Sorgenti Fanaroff-Riley I (FR I)

Sorgenti Fanaroff-Riley II (FR II)

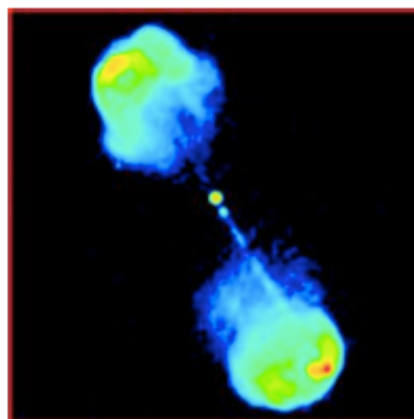
$< 2 \times 10^{25} \text{ W}$ **FR I**

Radio
Loudness
 $L(178\text{MHz})$

$> 2 \times 10^{25} \text{ W}$ **FR II**



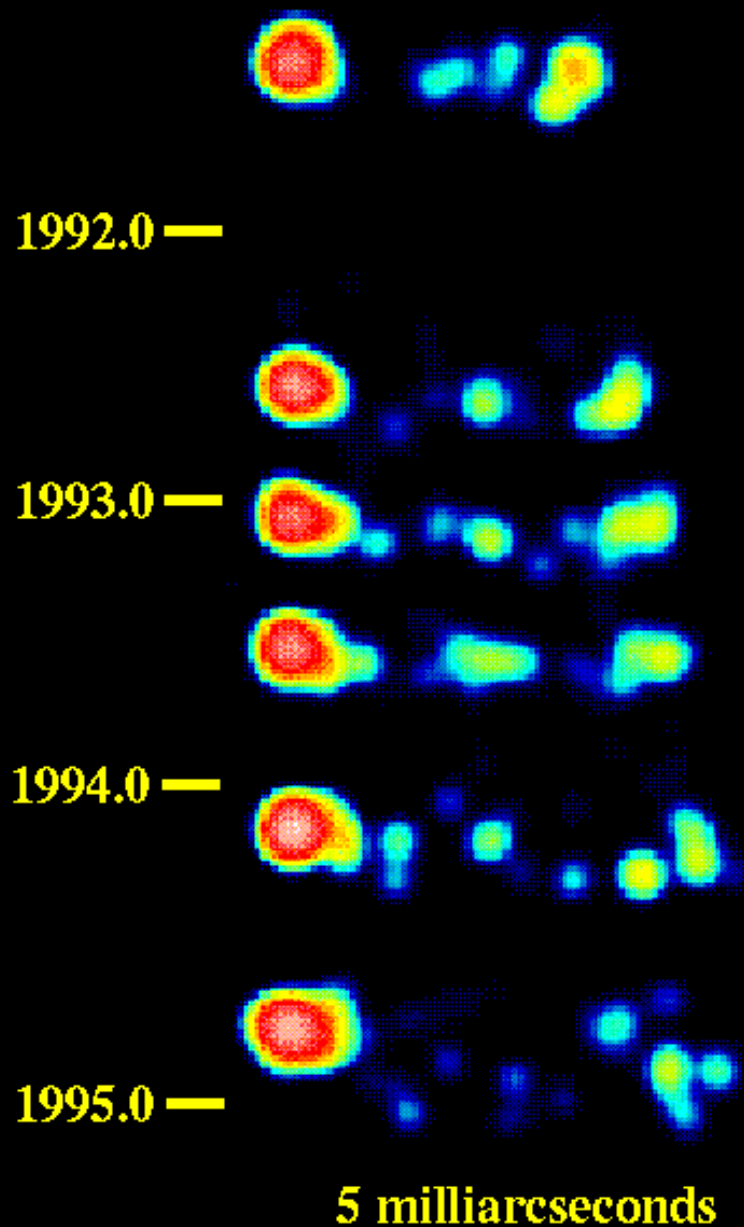
Getti radio gemelli, molti
“blob” di emissione,
estesi, oscurate ai bordi
(edge darkened)

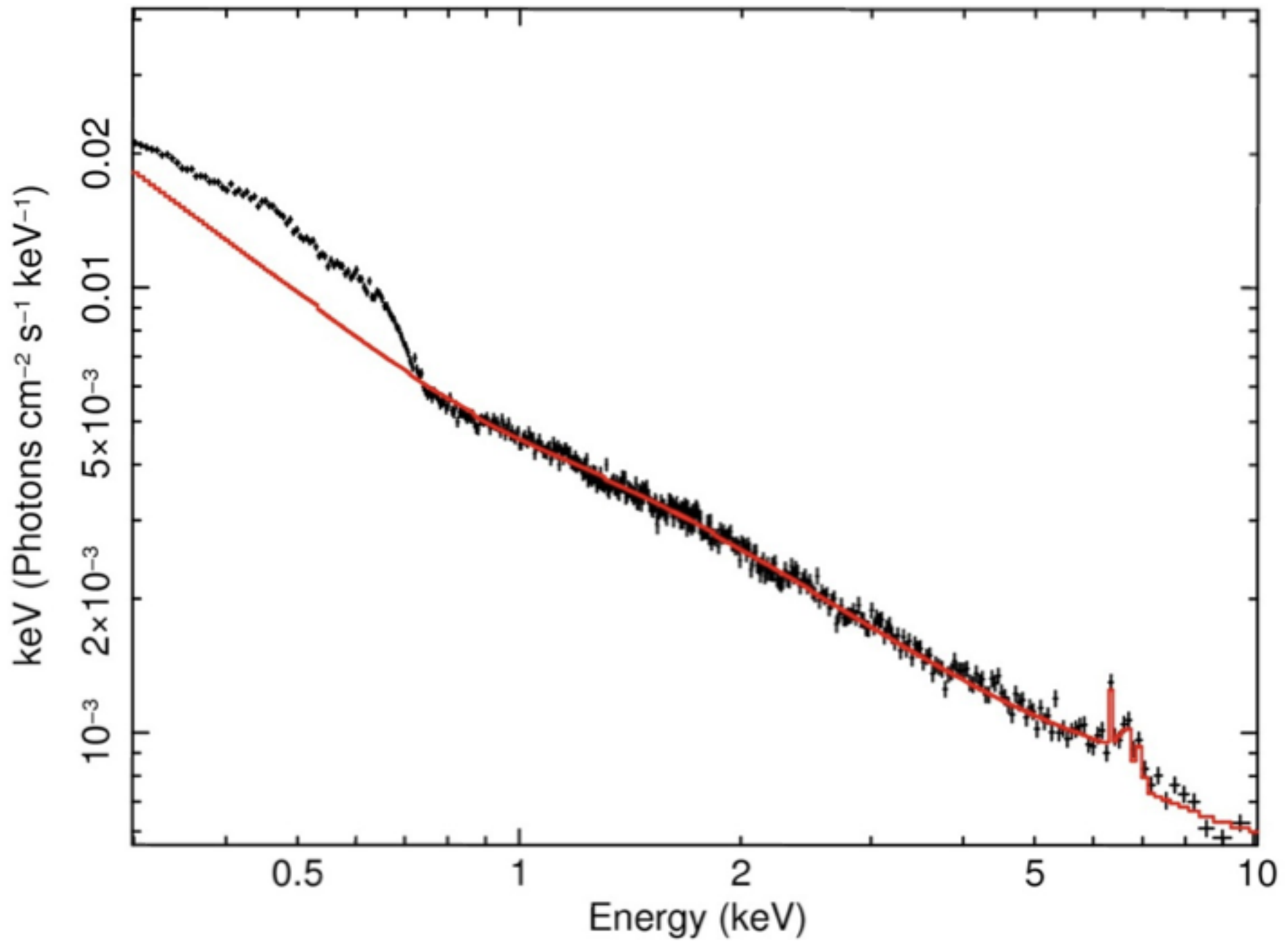


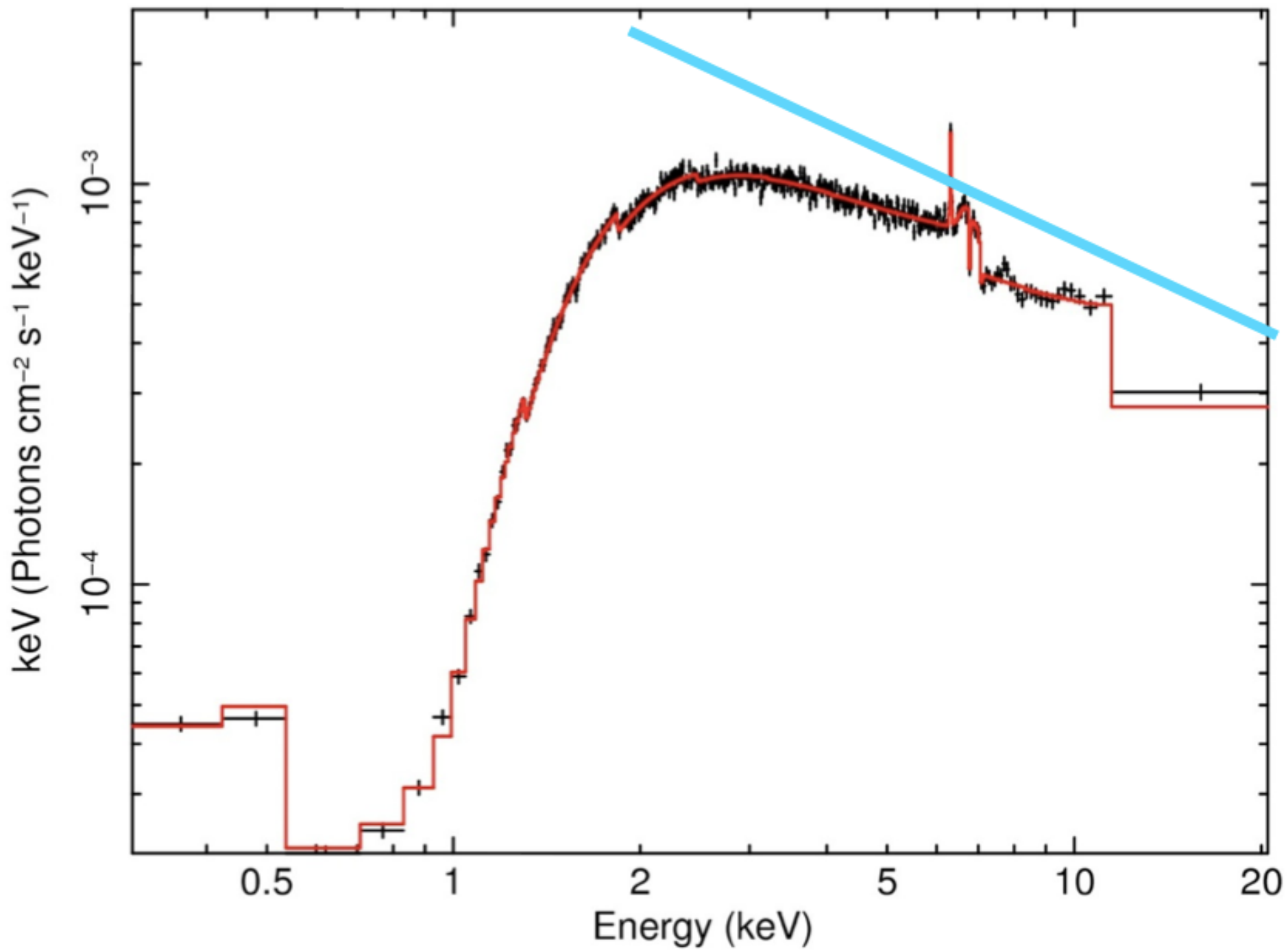
Getti radio singoli e
altamente collimati,
brillanti ai bordi
(edge brightened)

3C 279

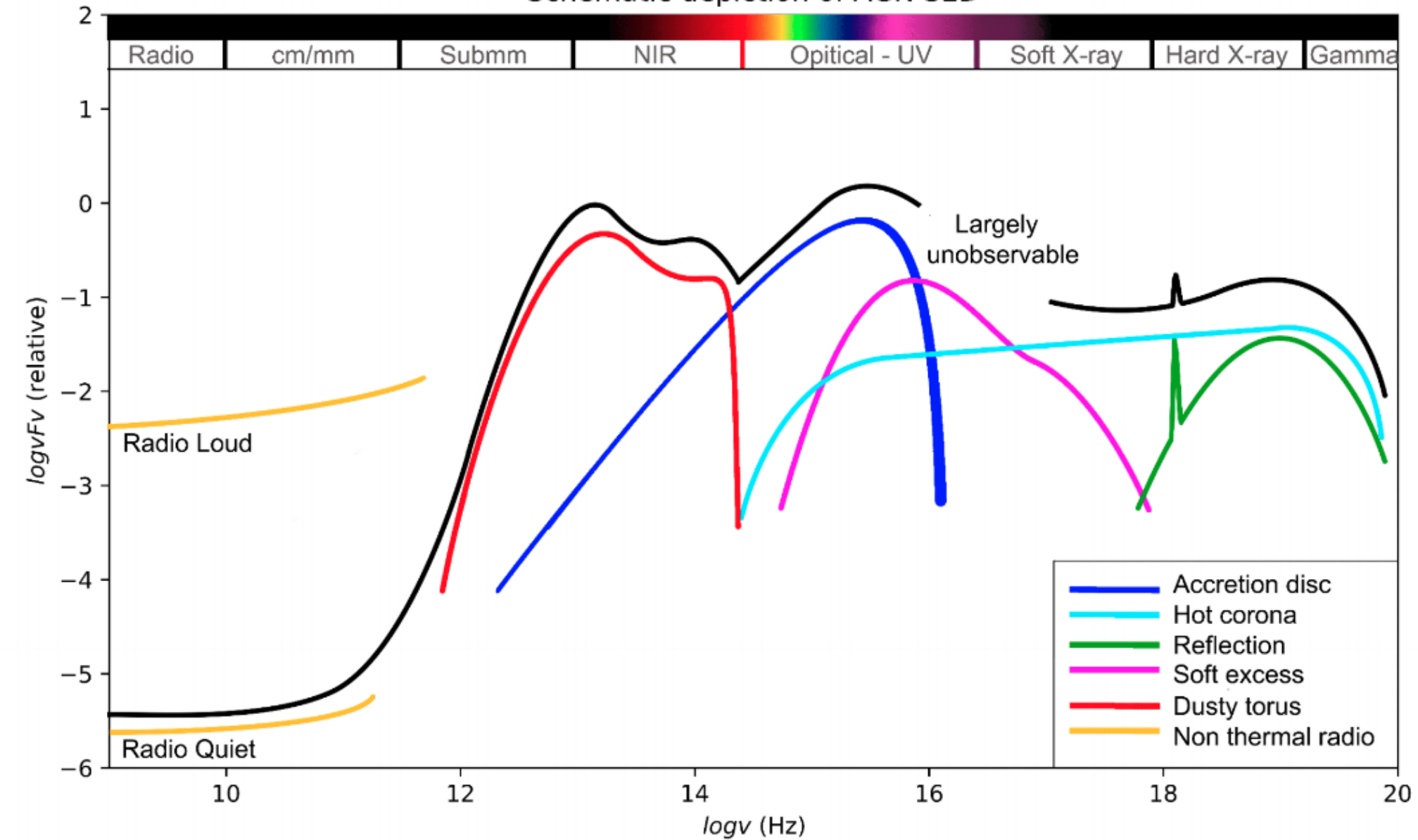
Superluminal Motion







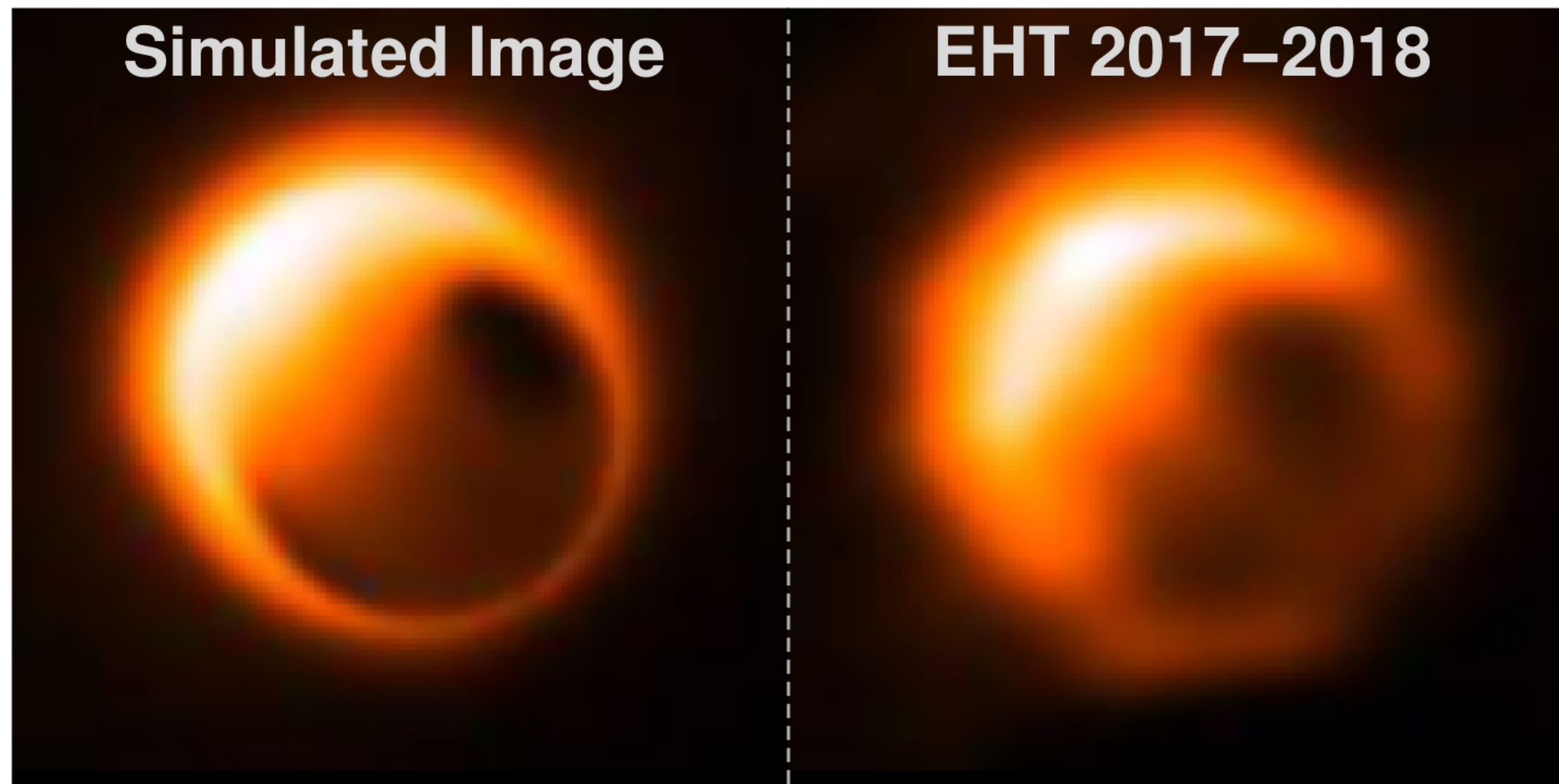
Schematic depiction of AGN SED



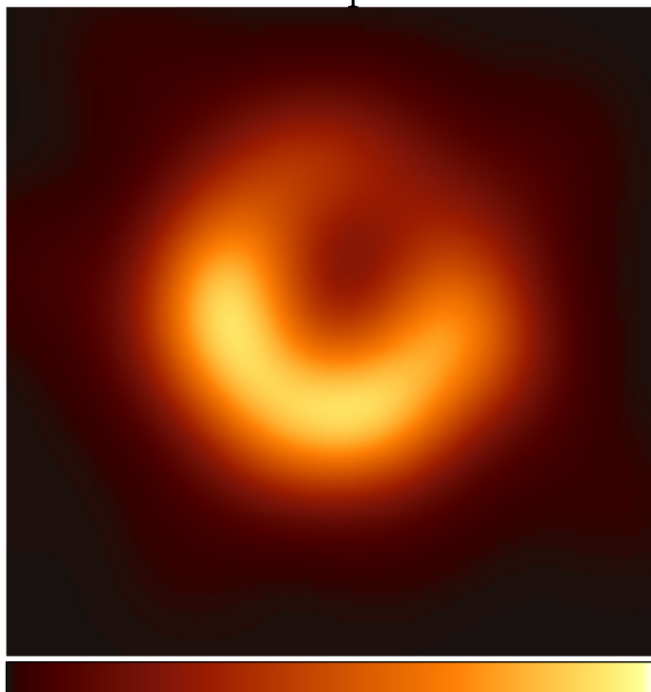


Simulated Image

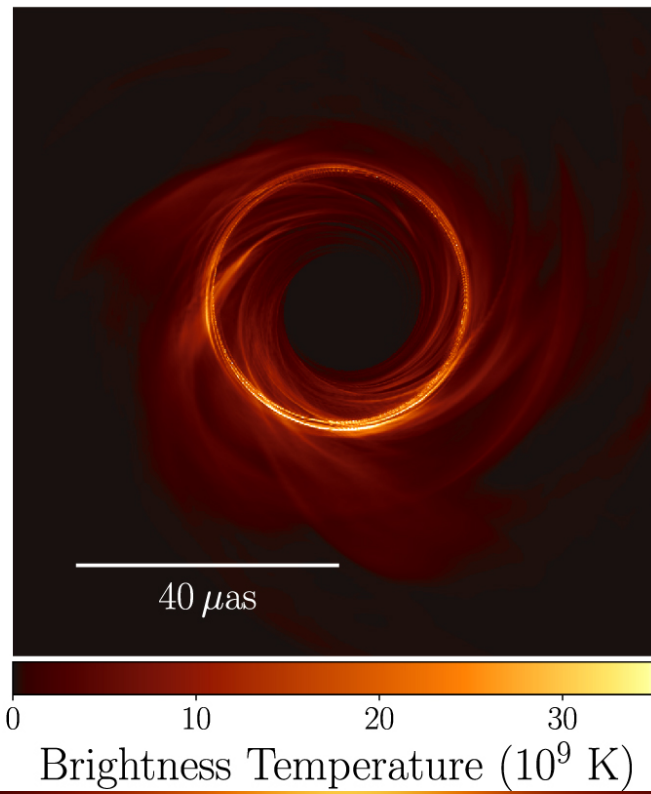
EHT 2017–2018



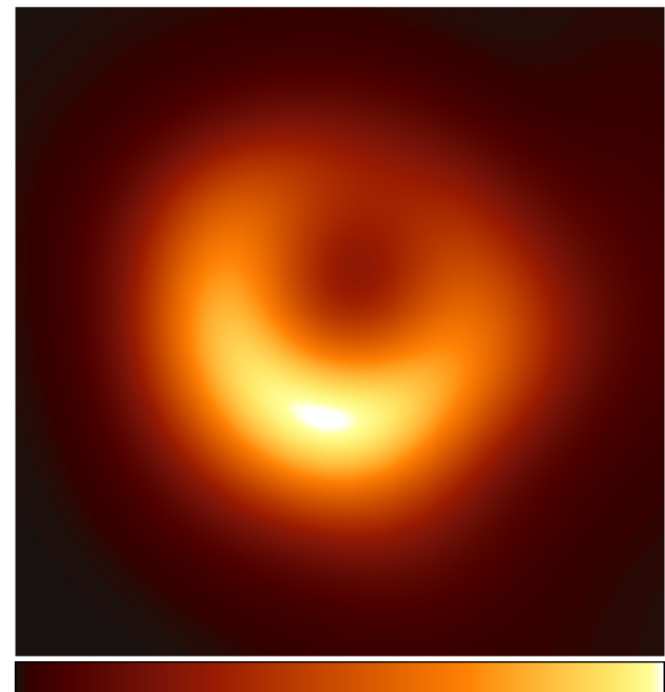
M87 April 6



GRMHD

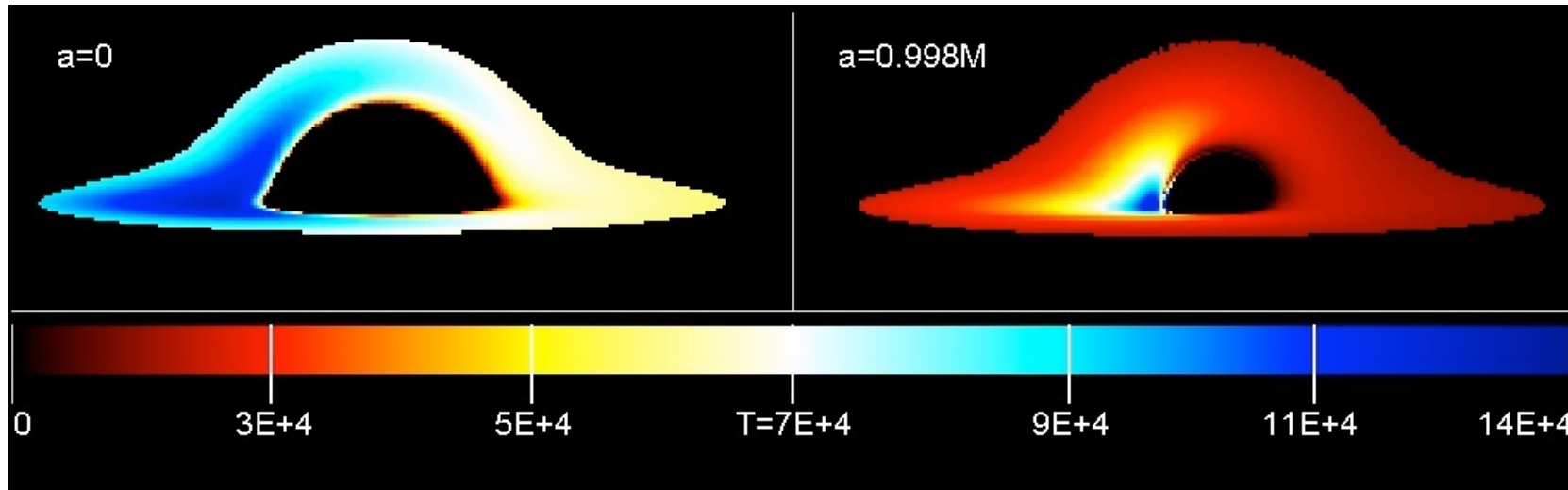


Blurred GRMHD

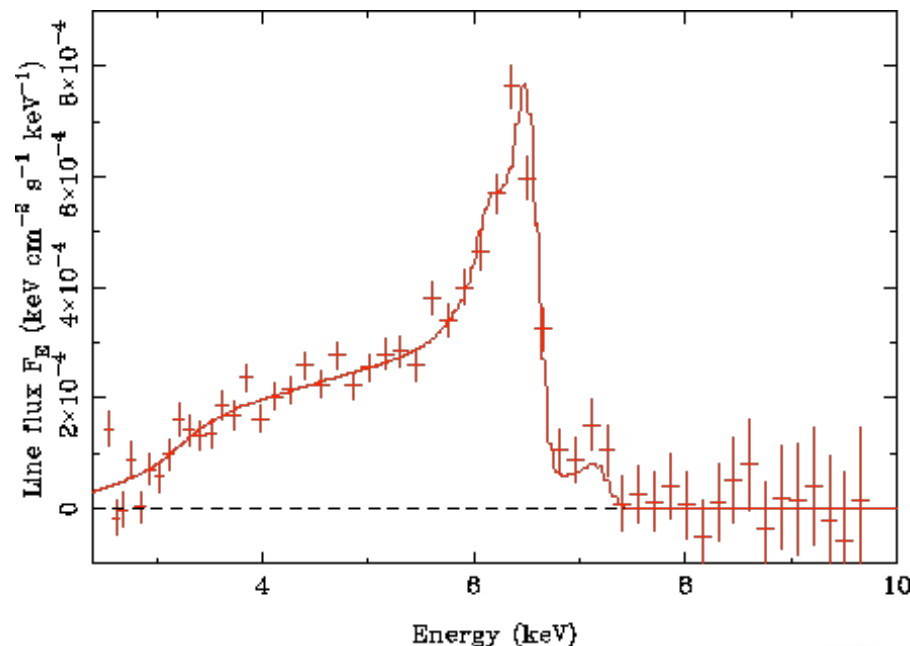
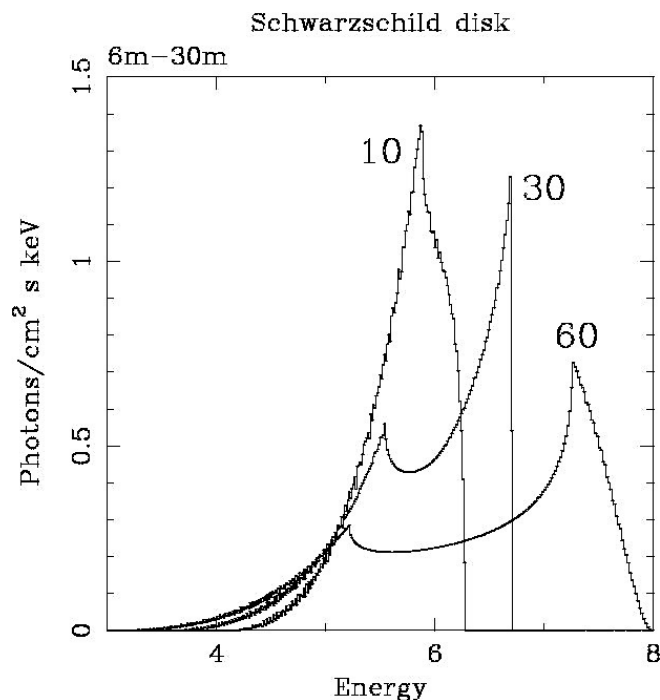


Effetti Osservabili

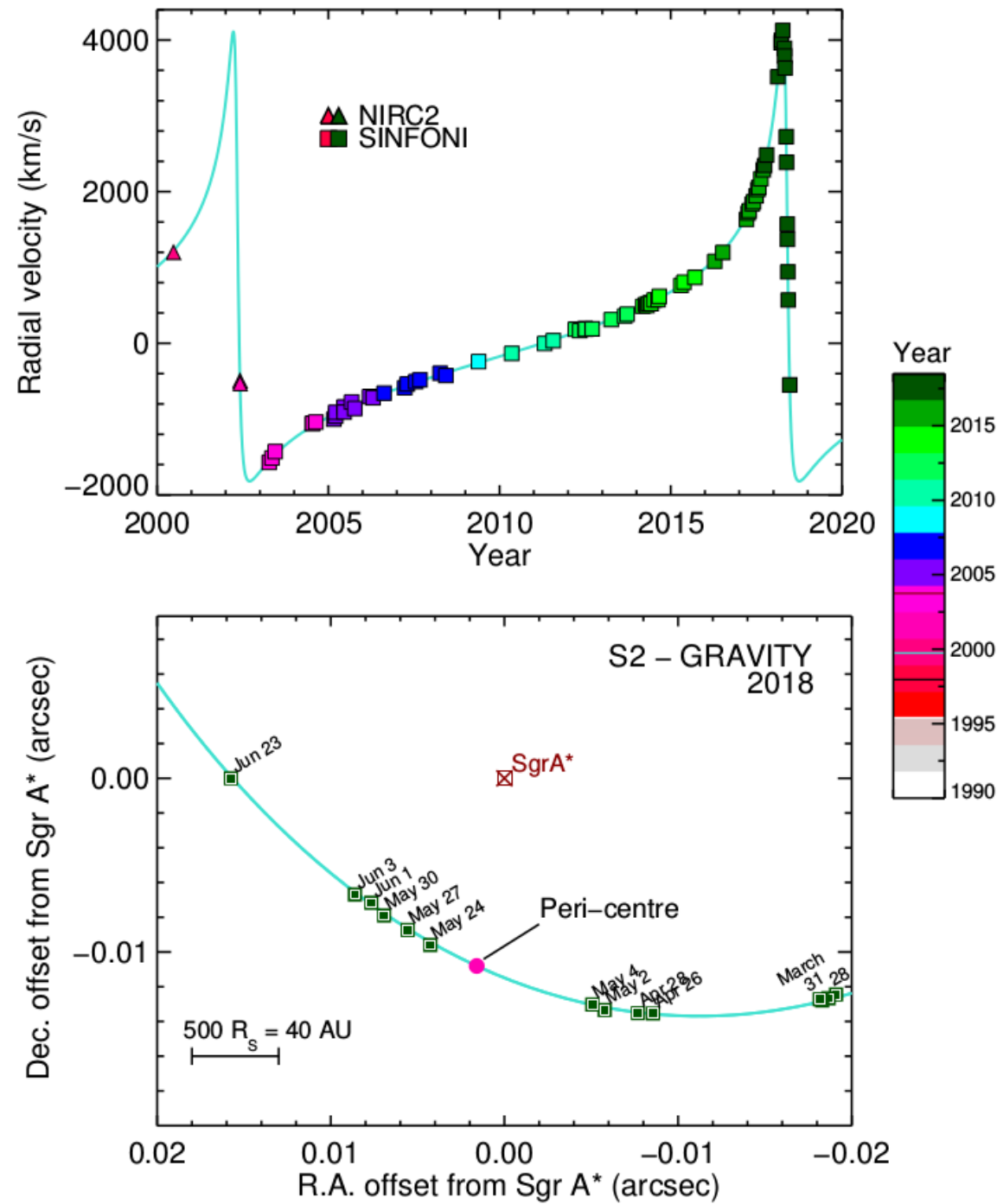
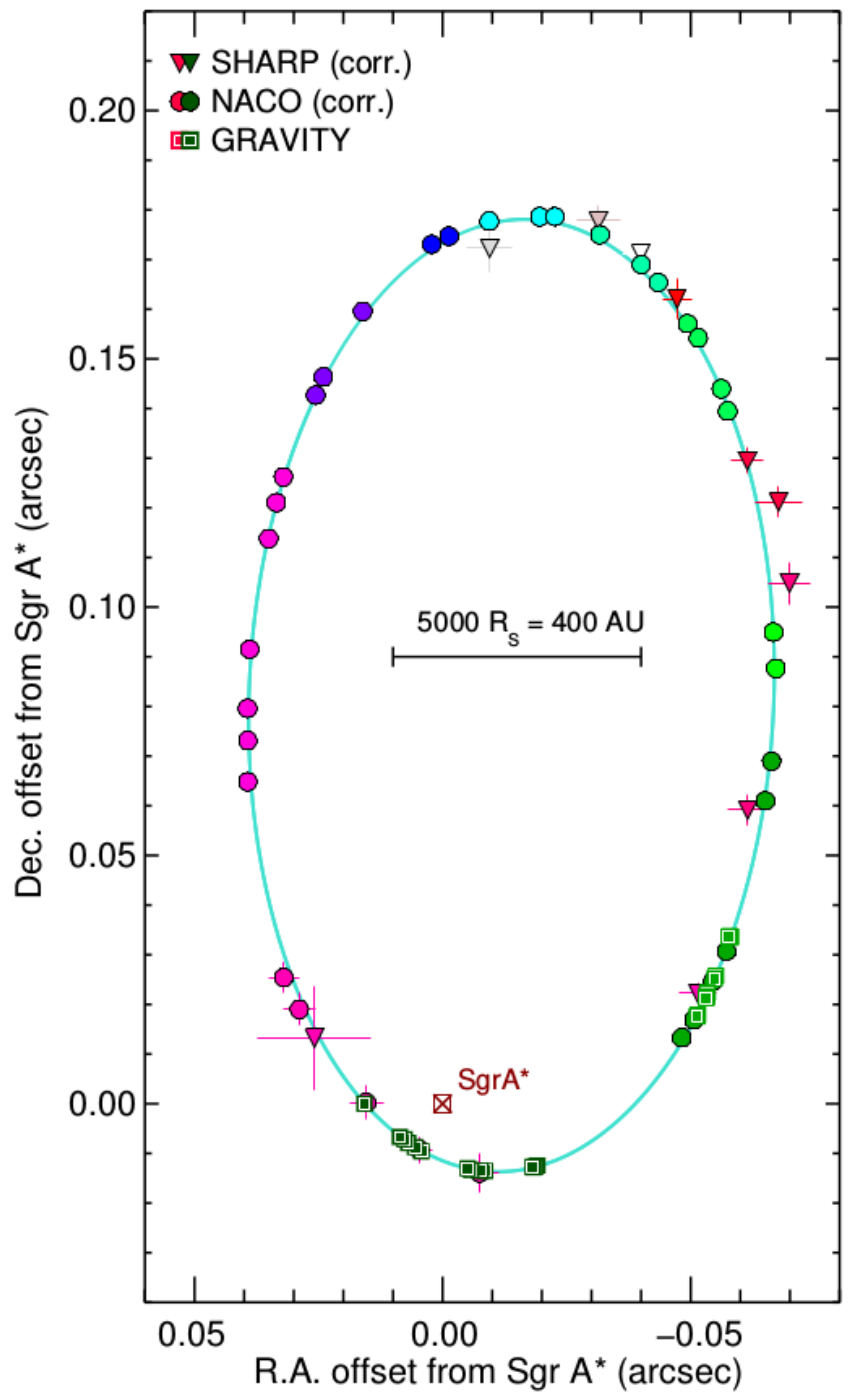
2) Emissione dalle regioni interne di un disco di accrescimento



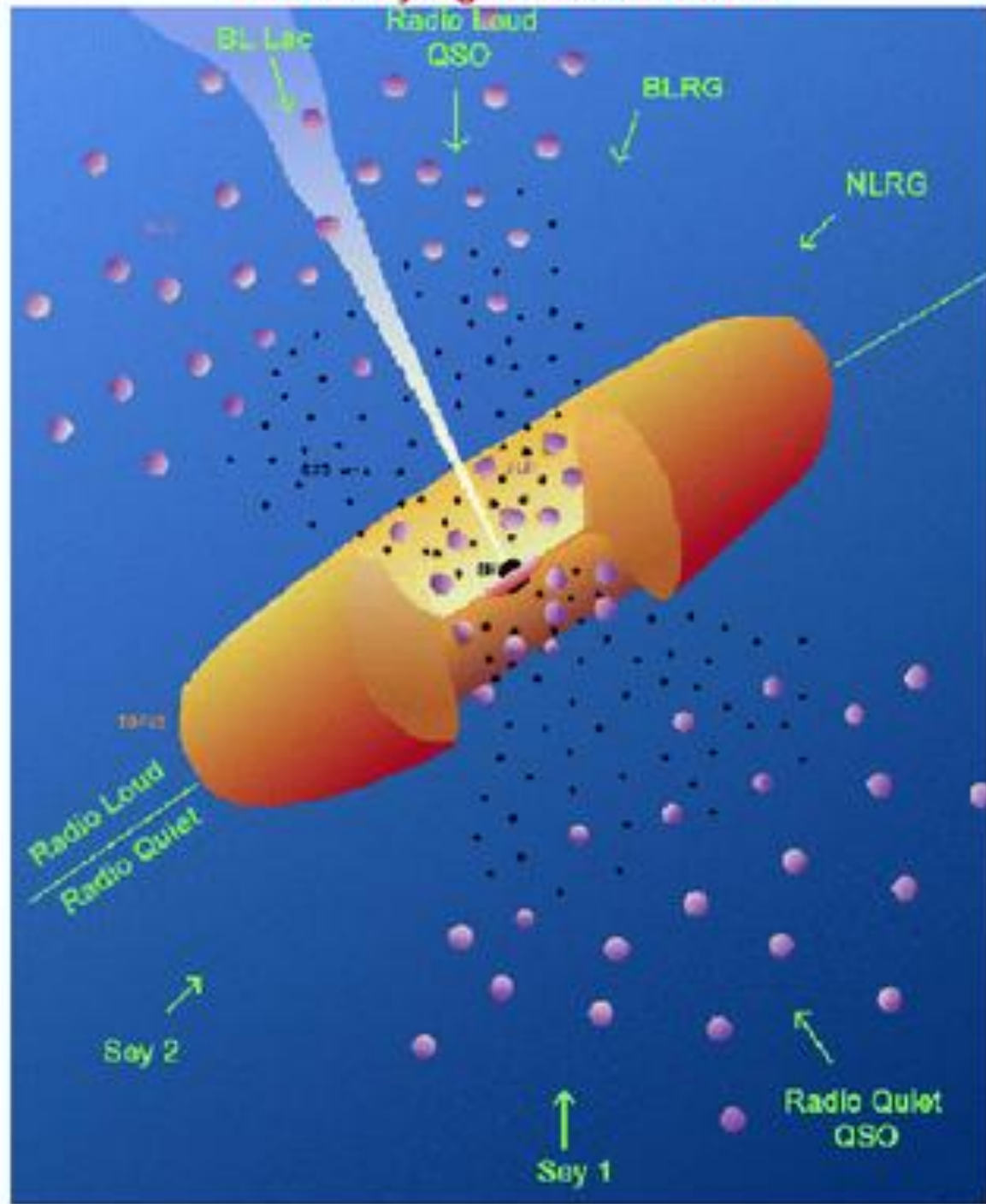
Effetti “facilmente” osservabili:
riga di emissione.
La riga di emissione più intensa attesa dalle regioni interne del disco e’ la Ka del ferro a ~ 6.4 keV



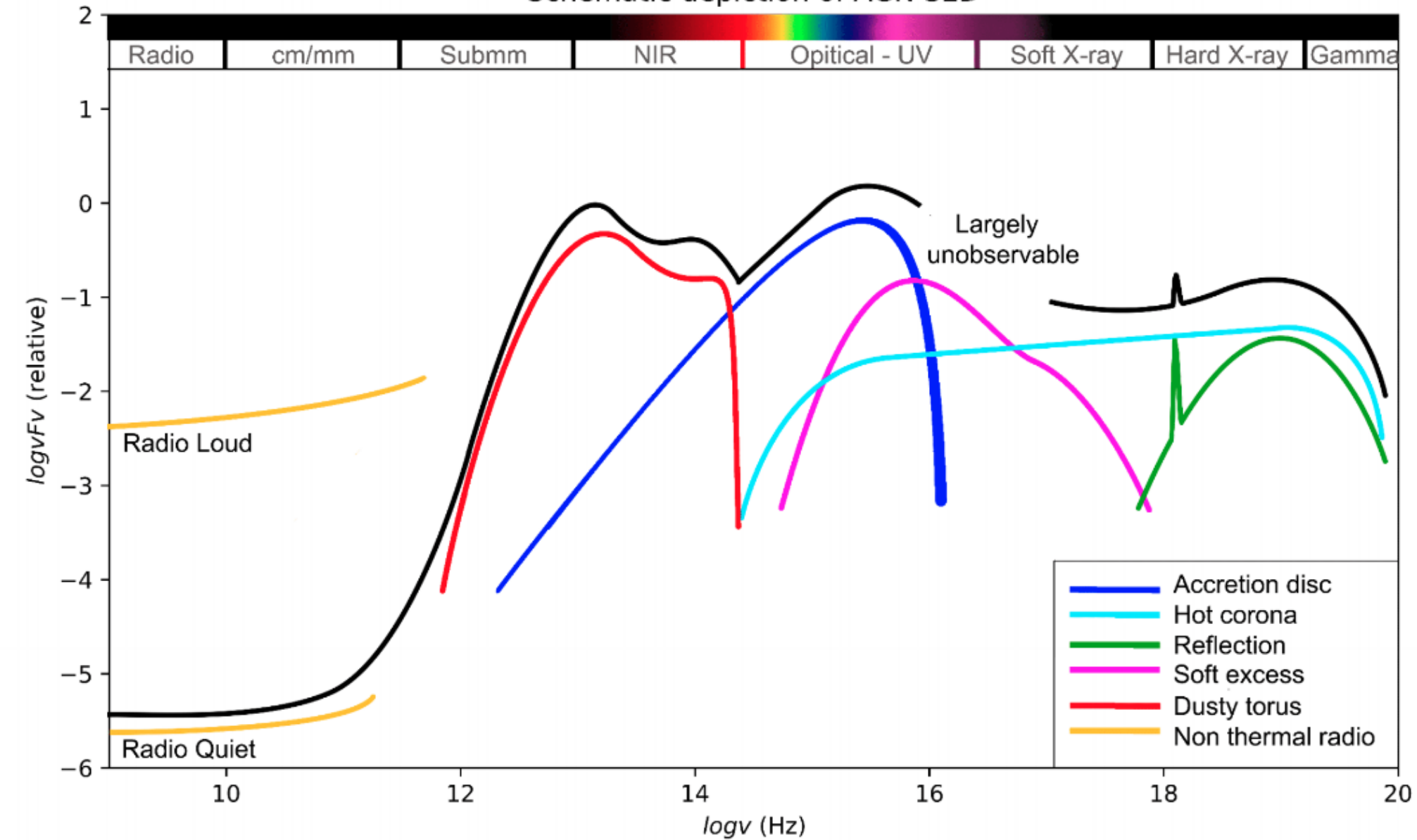


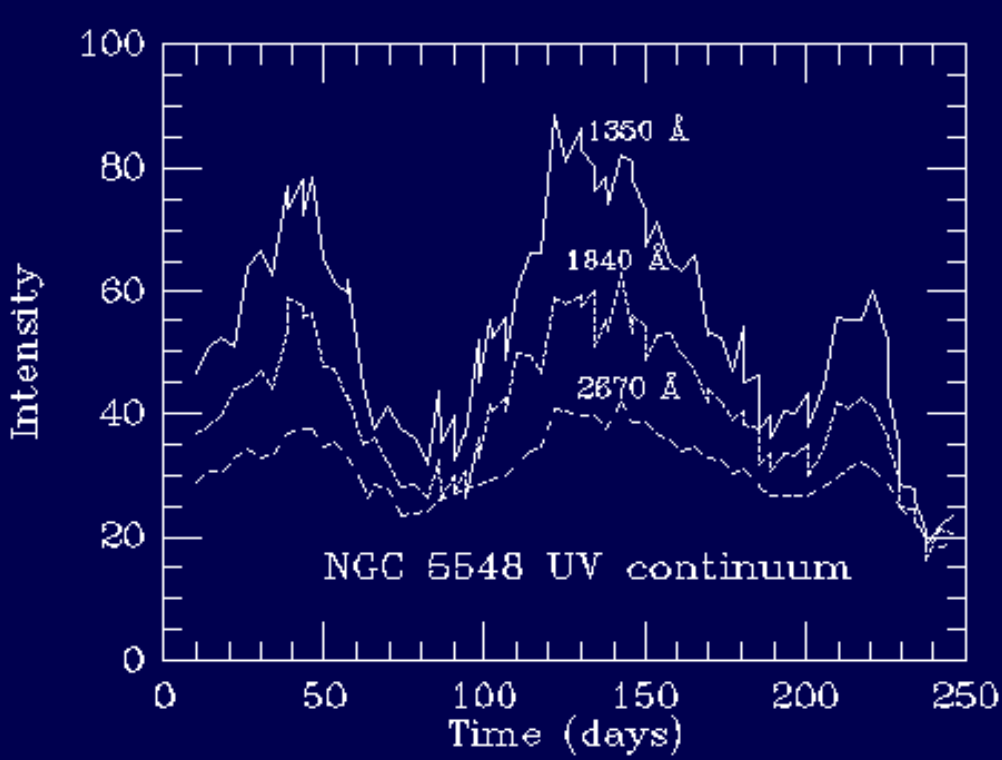
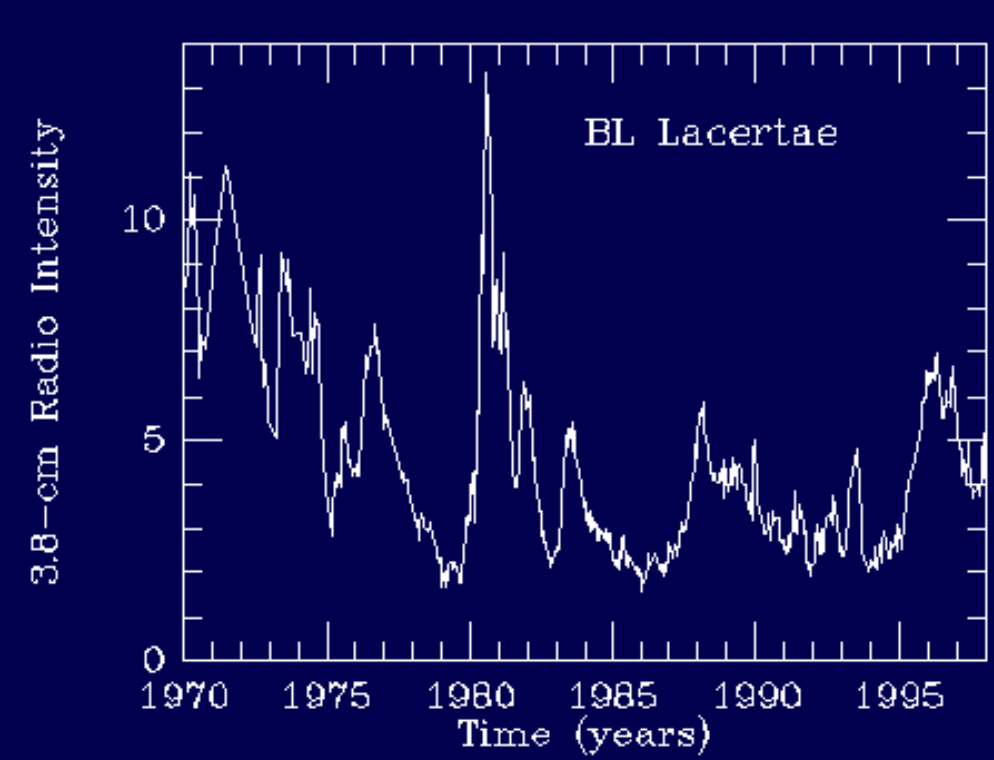
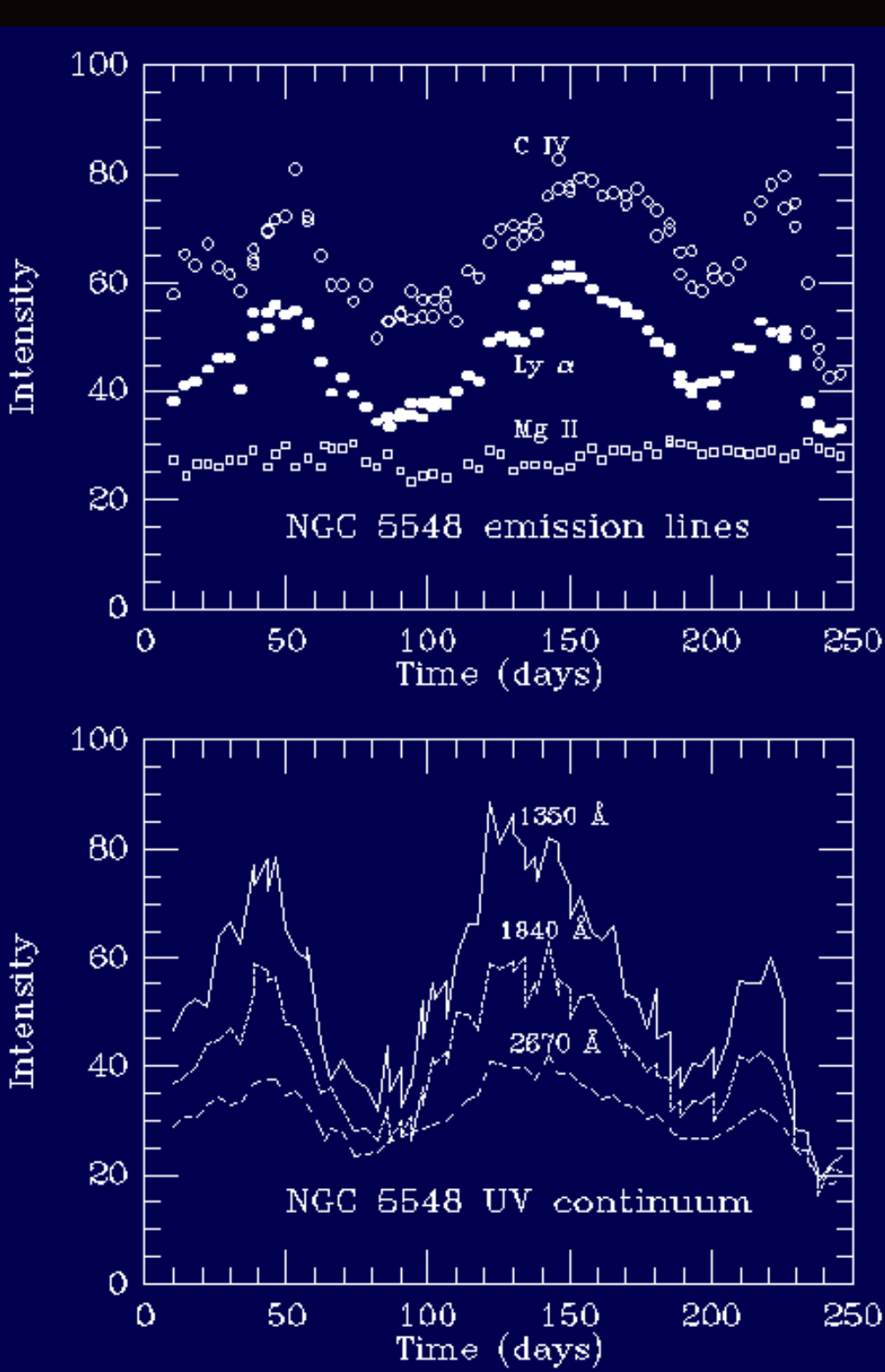
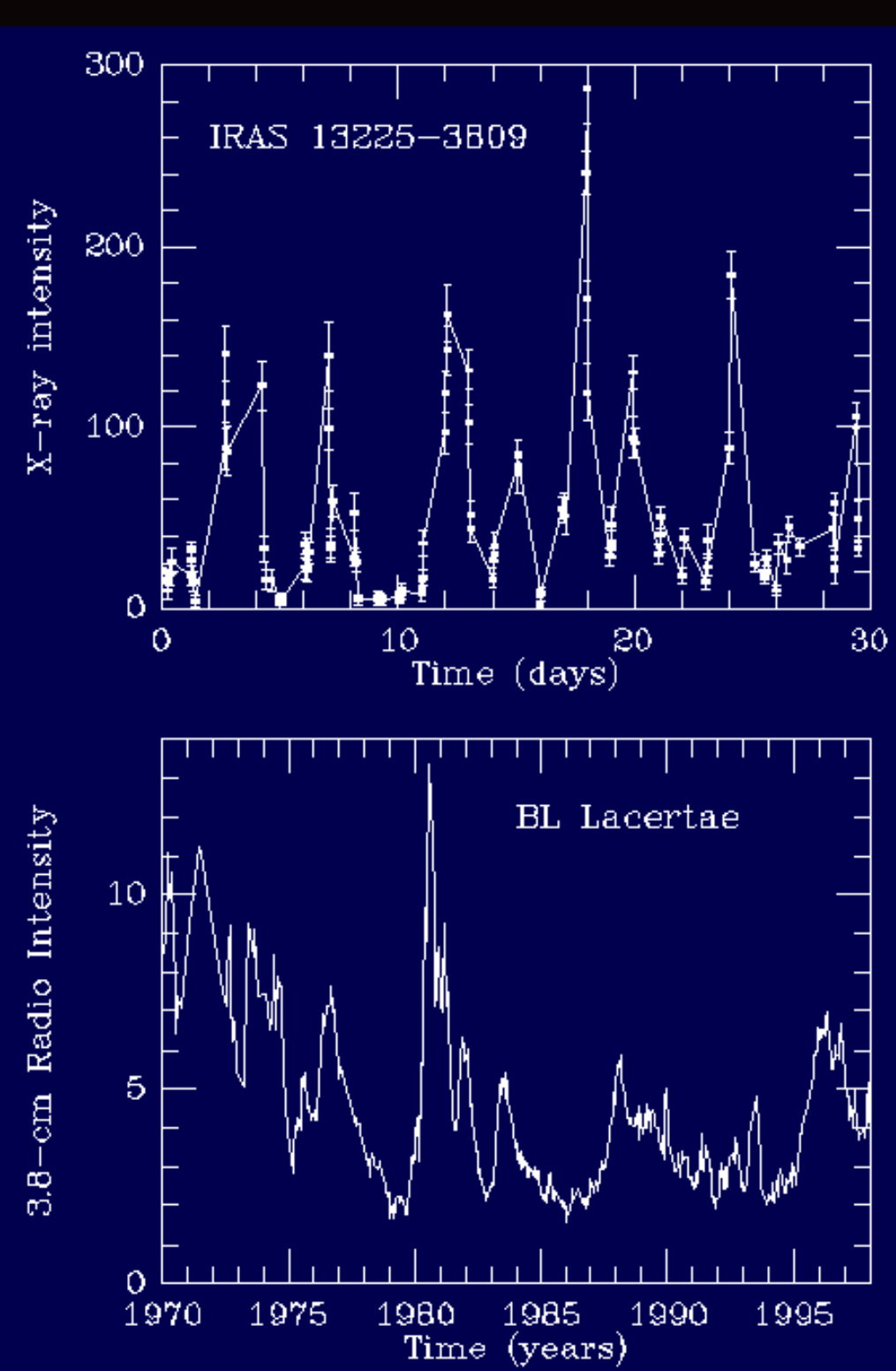


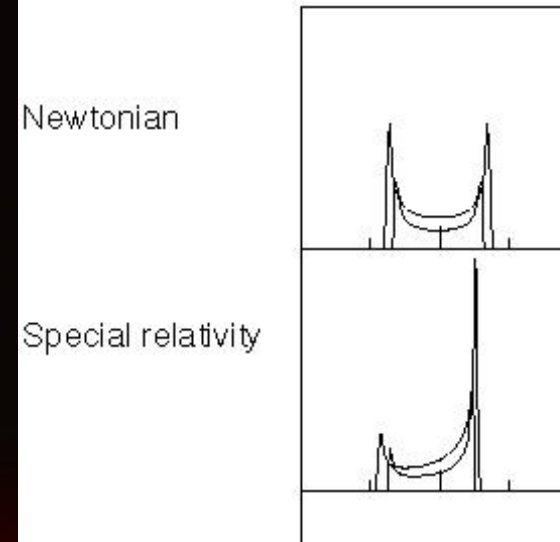
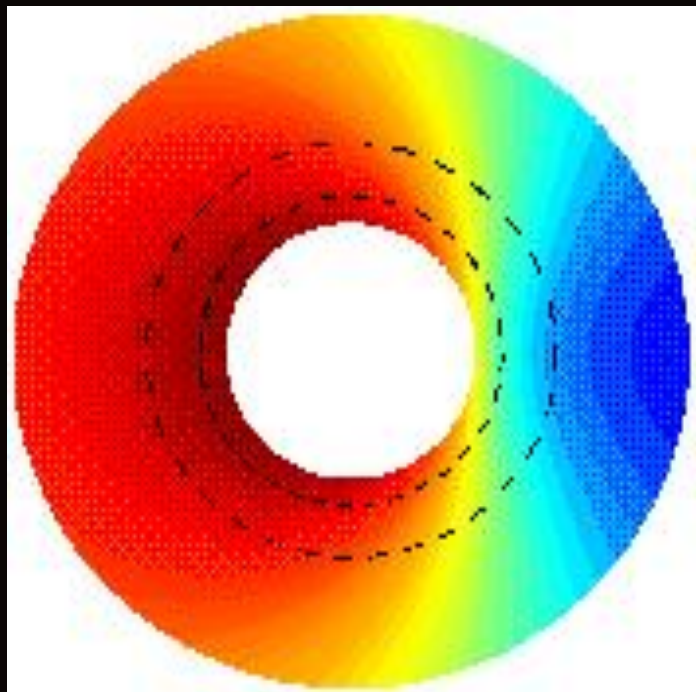
The Unifying Model of AGN



Schematic depiction of AGN SED



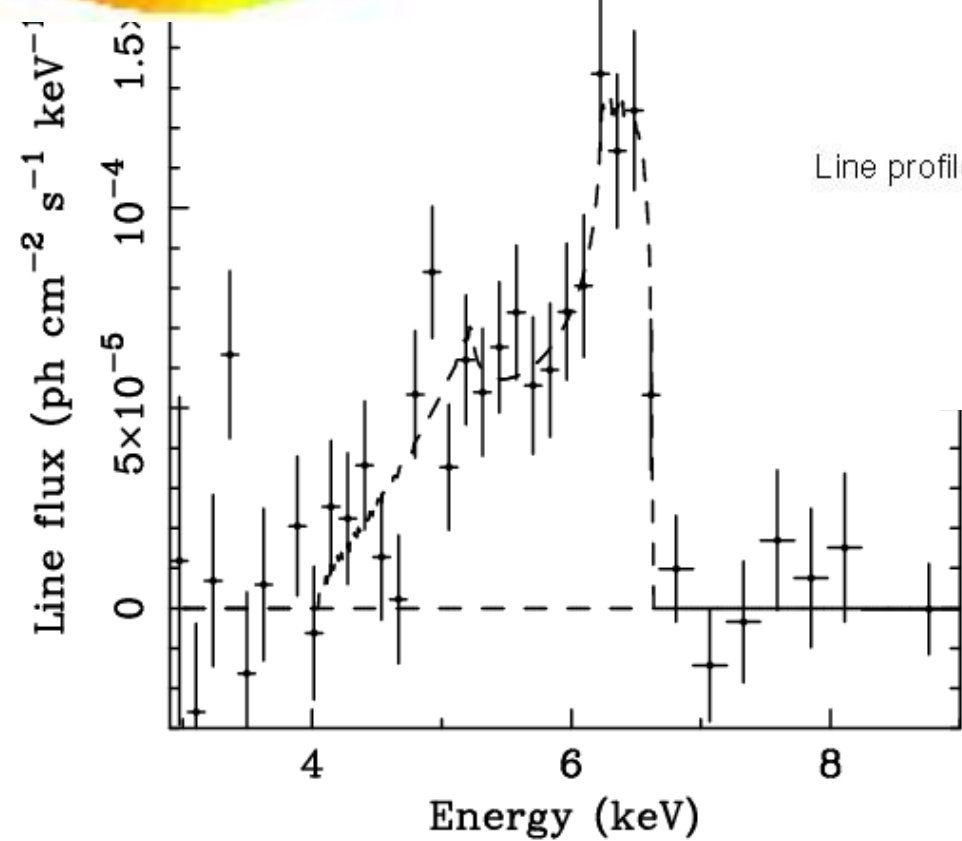




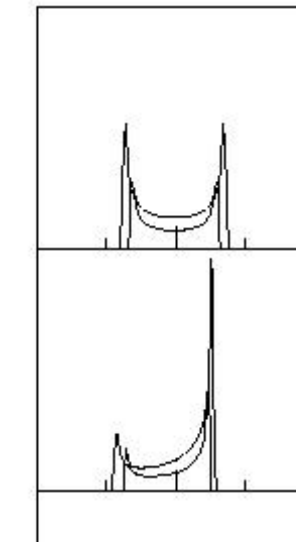
Newtonian

Special relativity

General relativity

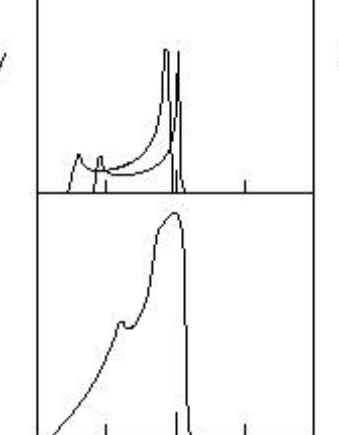


Line profile

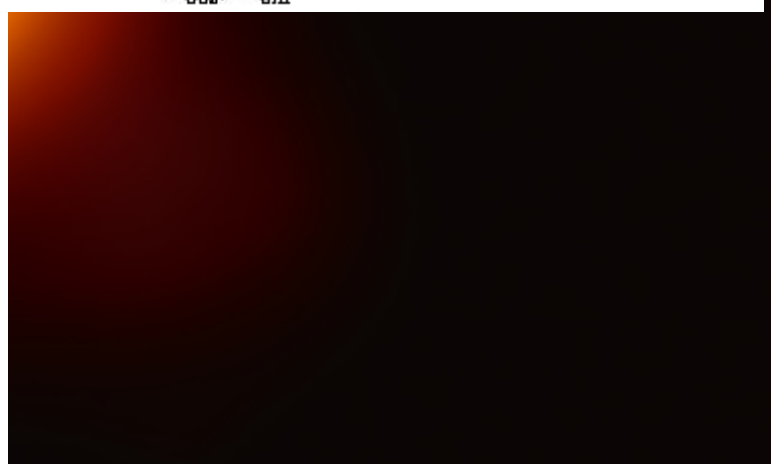


Transverse Doppler shift

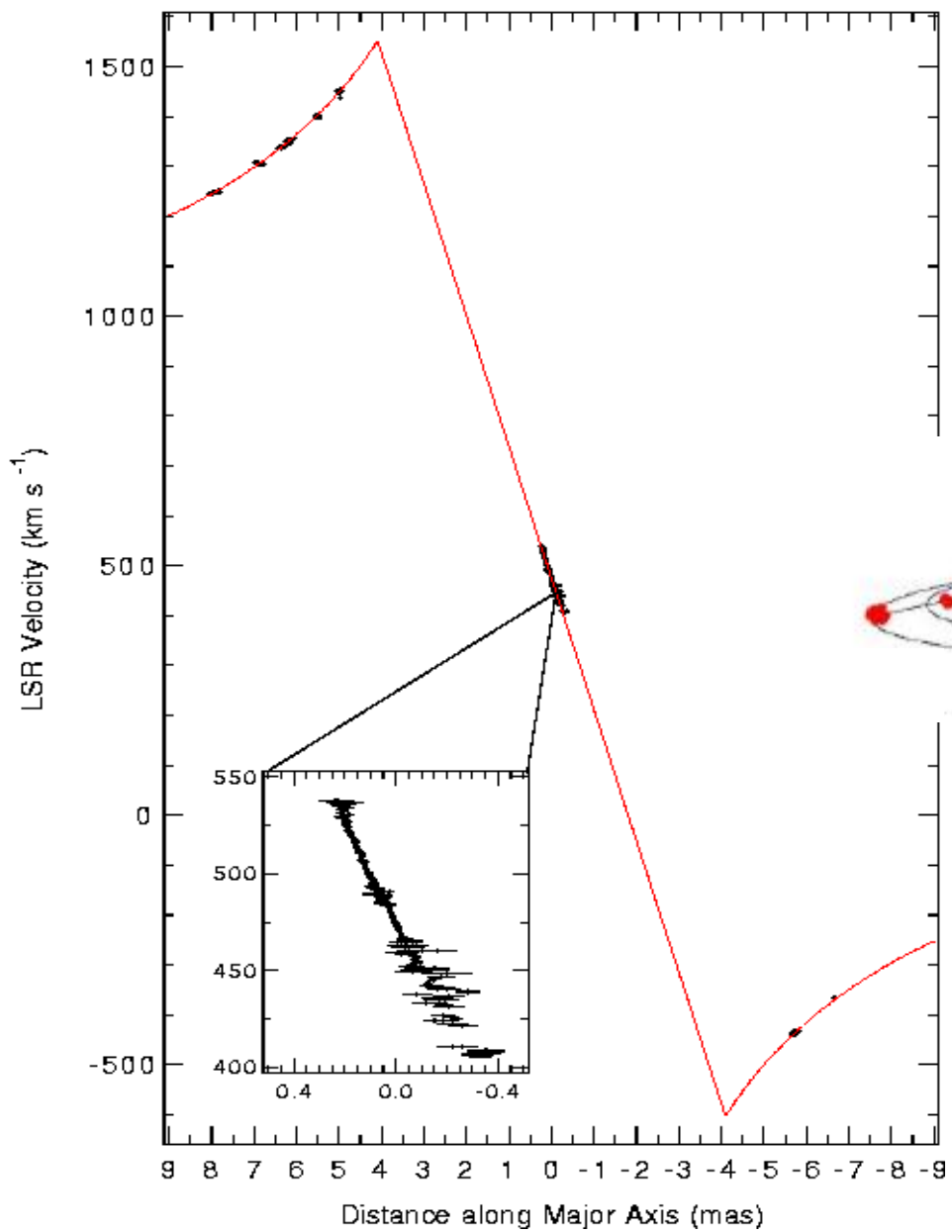
Beaming



Gravitational redshift

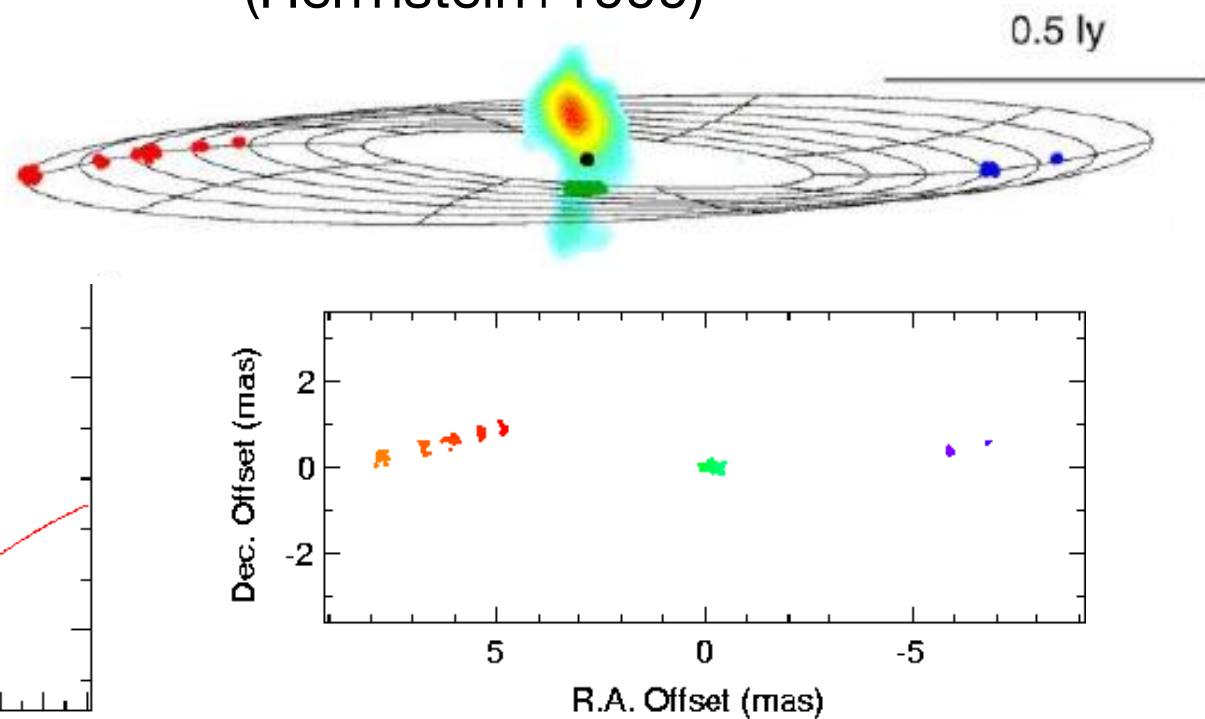


M_{BH} from H_2O megamasers: NGC 4258



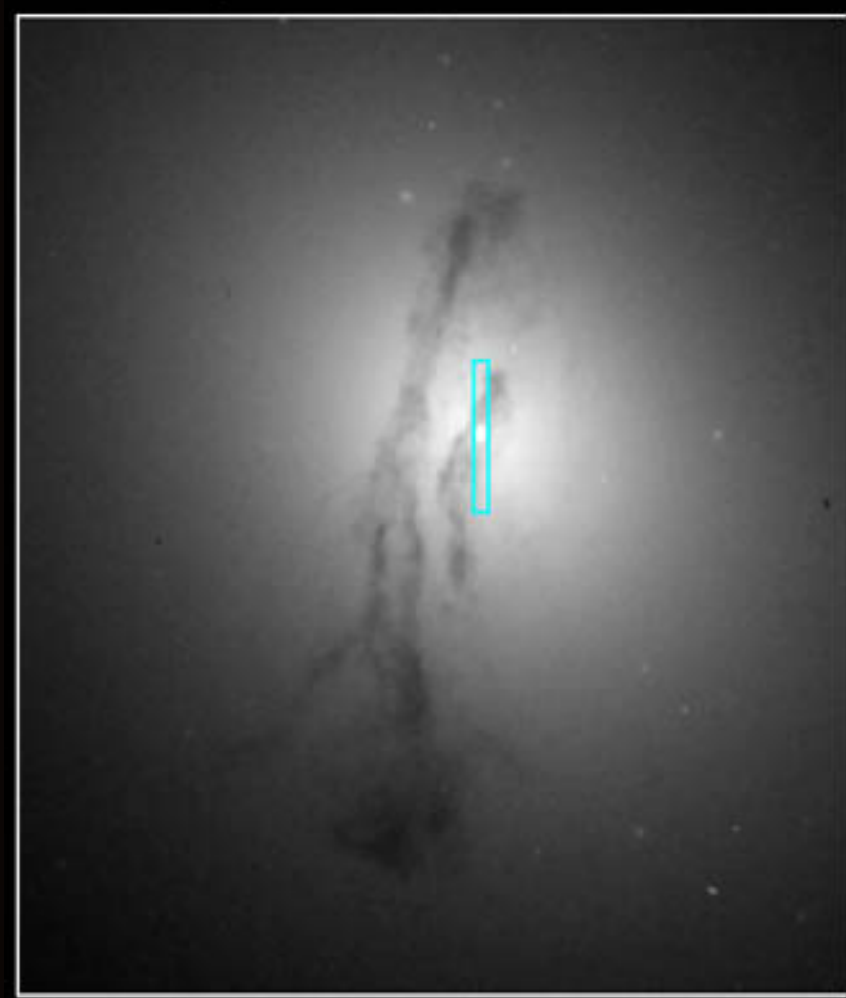
★ $M_{\text{BH}} = (3.9 \pm 0.1) \times 10^7 M_{\odot}$
(Miyoshi+1995, Herrnstein+1999)

★ Using rotation curves, it is also possible to measure centripetal acceleration of maser spots and derive galaxy distance
(Herrnstein+1999)



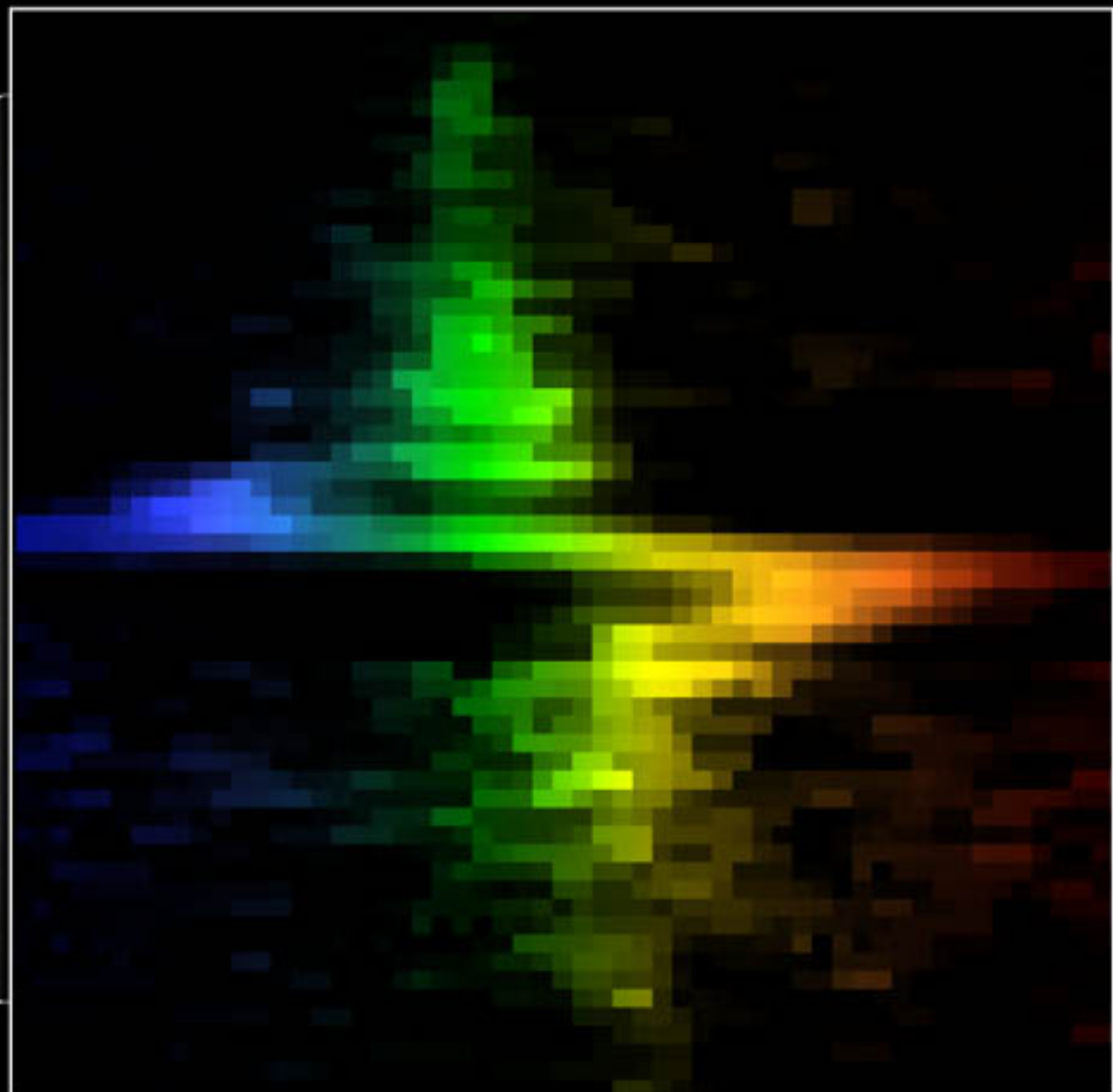
★ Disk is also slightly warped

Galaxy M84 Nucleus



WFPC2

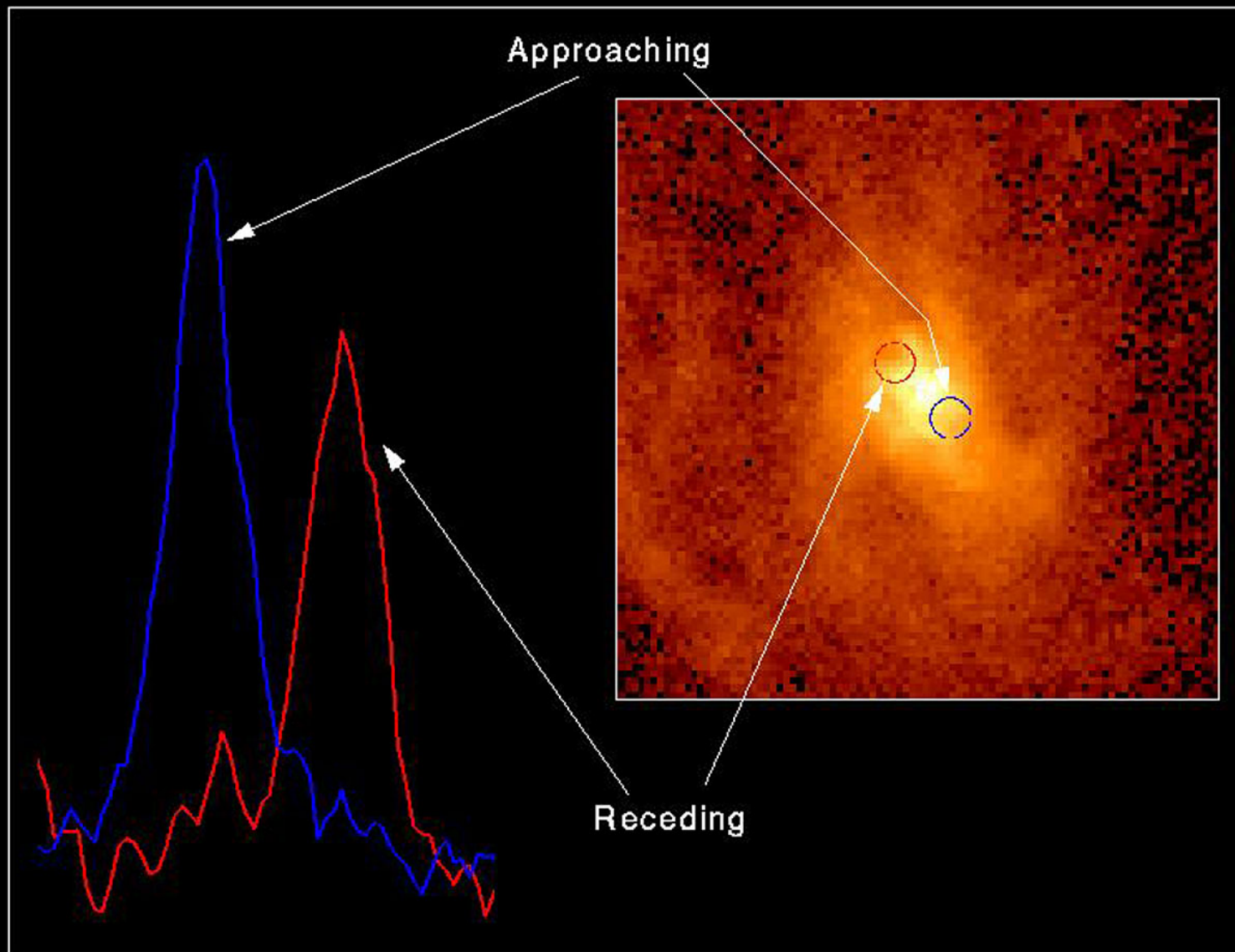
Hubble Space Telescope



STIS

PRC97-12 • ST Scl OPO • May 12, 1997 • B. Woodgate (GSFC), G. Bower (NOAO) and NASA

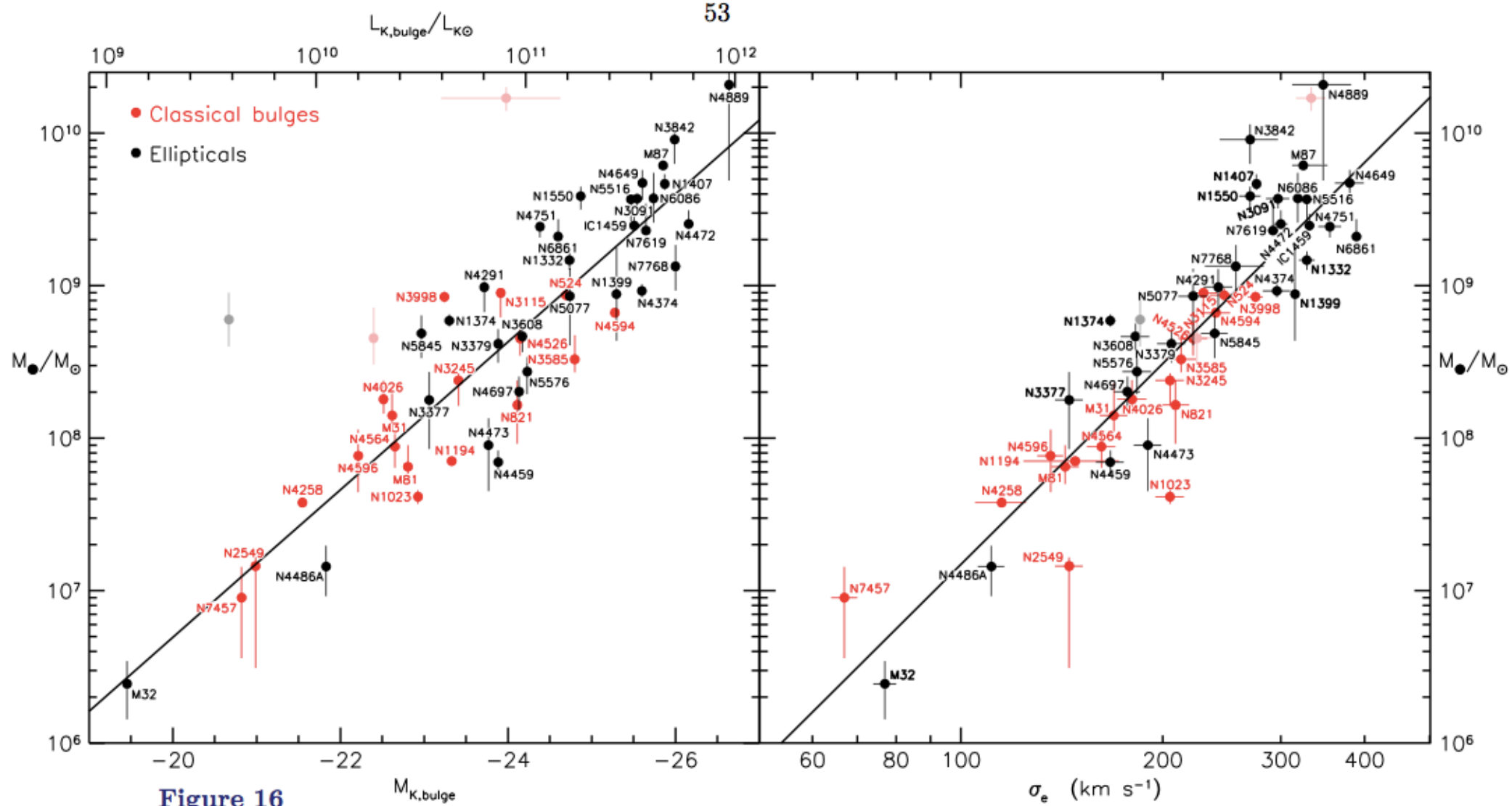
Spectrum of Gas Disk in Active Galaxy M87

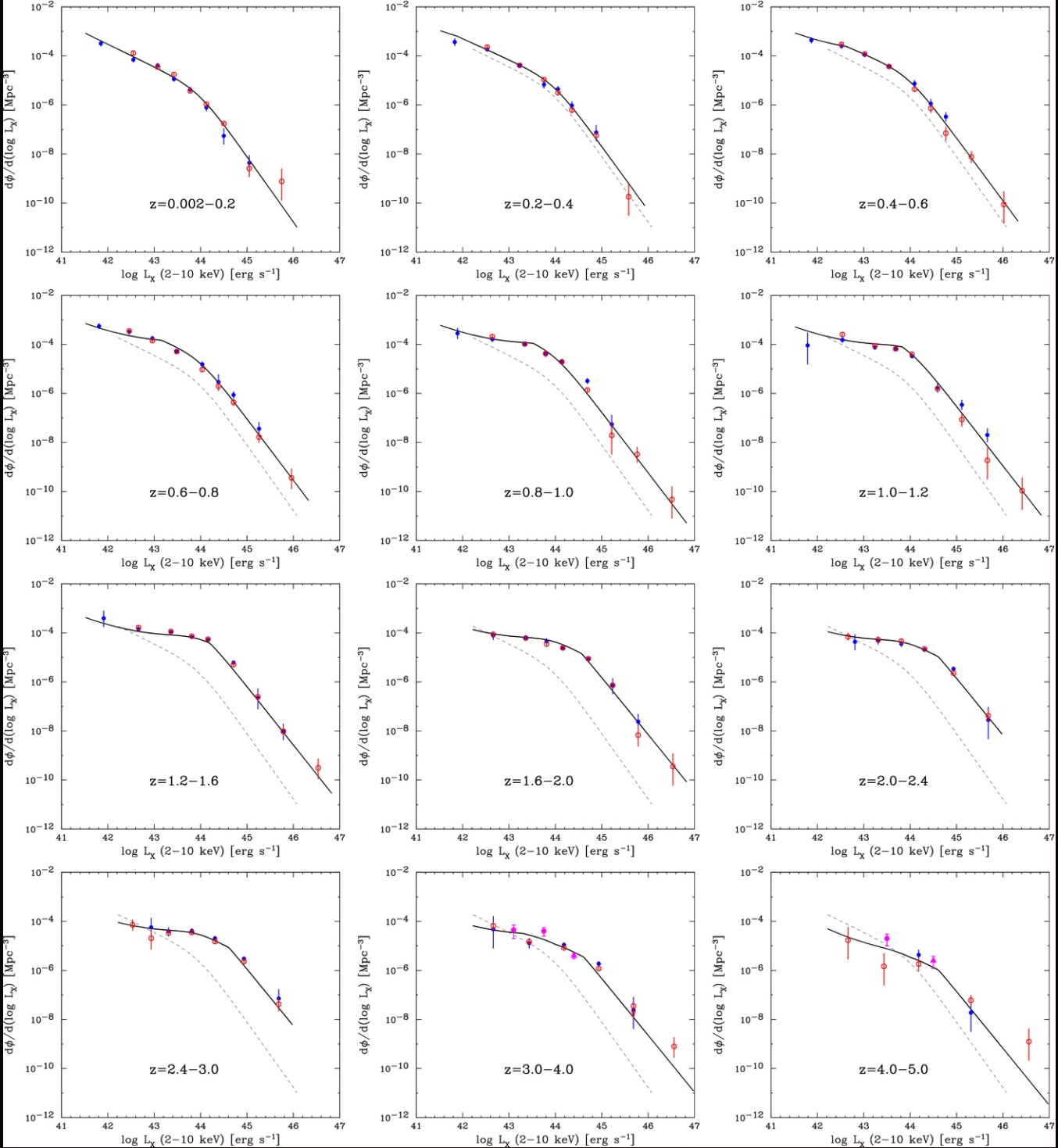


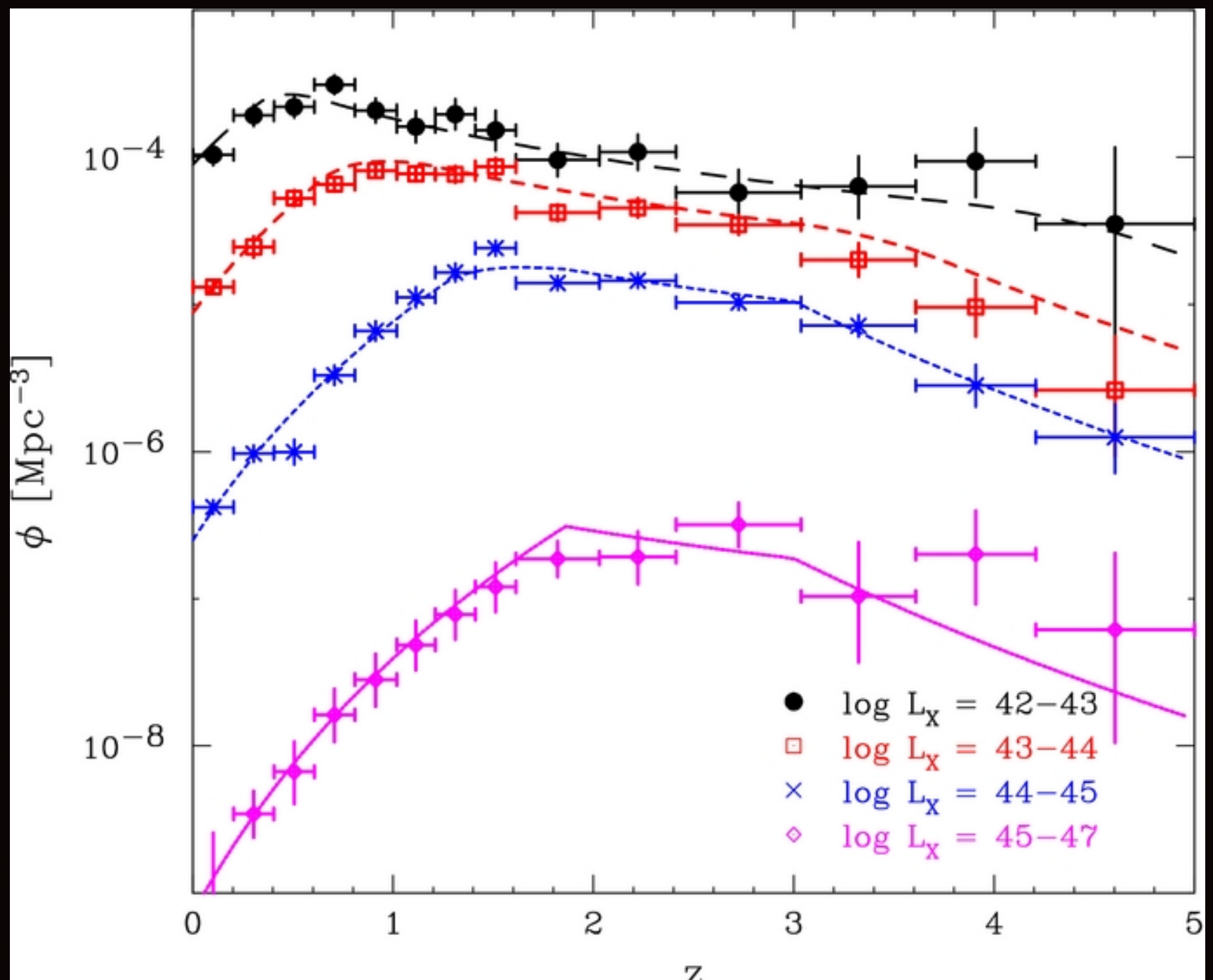
Hubble Space Telescope • Faint Object Spectrograph



SPACE
TELESCOPE
SCIENCE
INSTITUTE







All Galaxies

